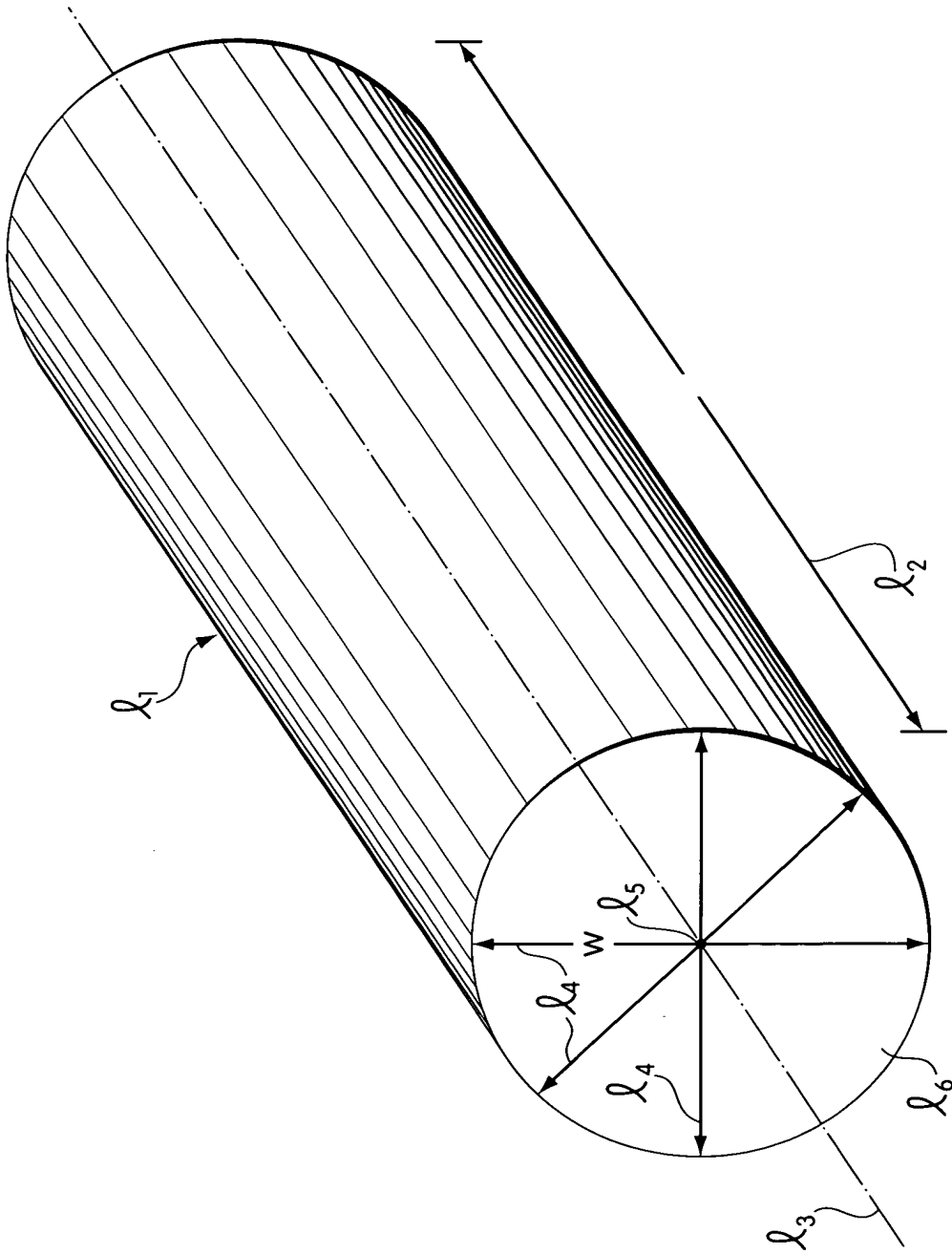


1/43

Best Available Copy

Fig. 1



09935/776 - 03-1202

2024-07-26 06:56:00

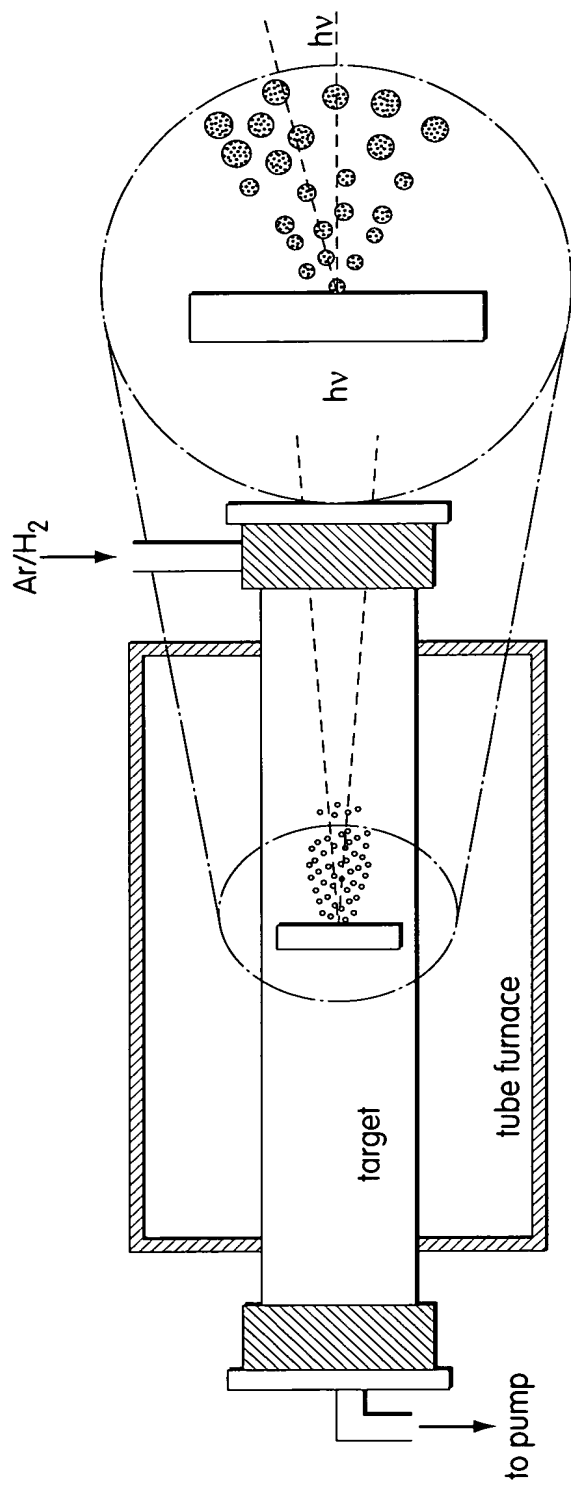
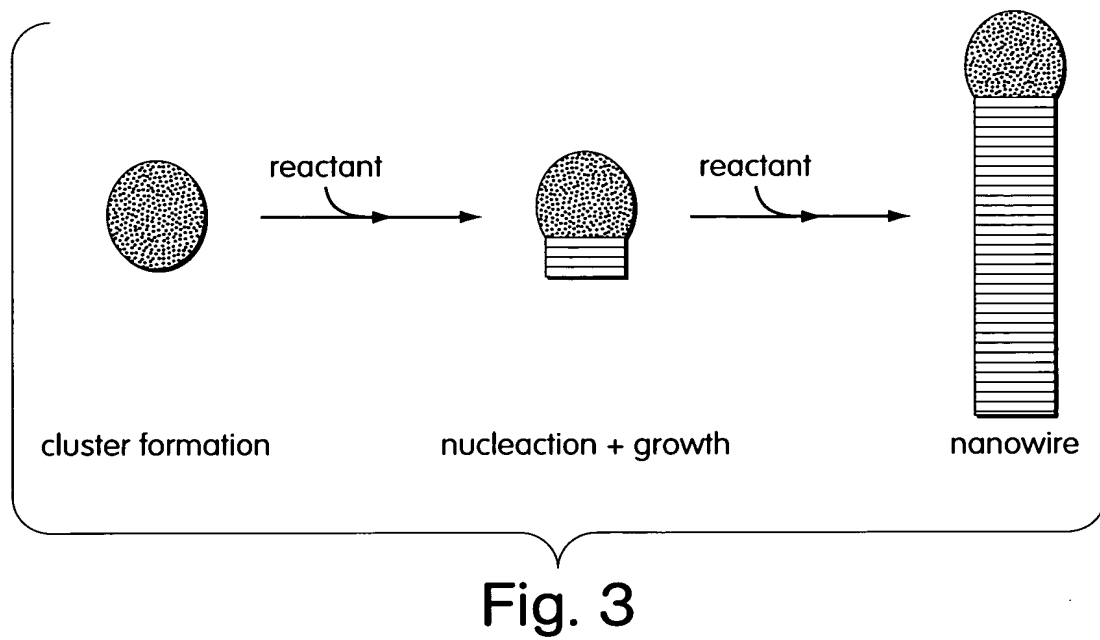
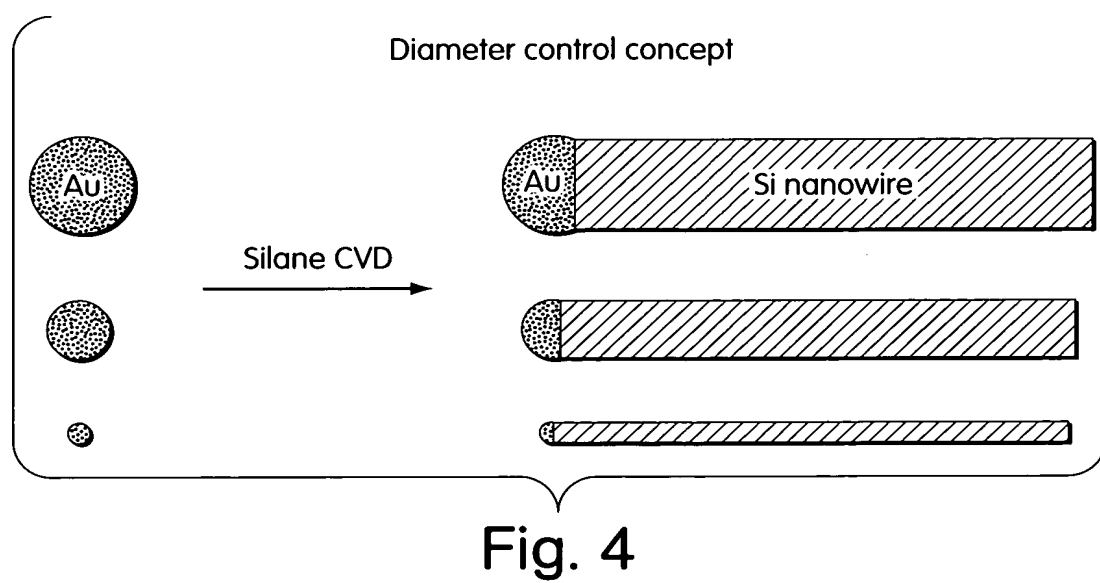


Fig. 2



0993522-5-004202



4/43

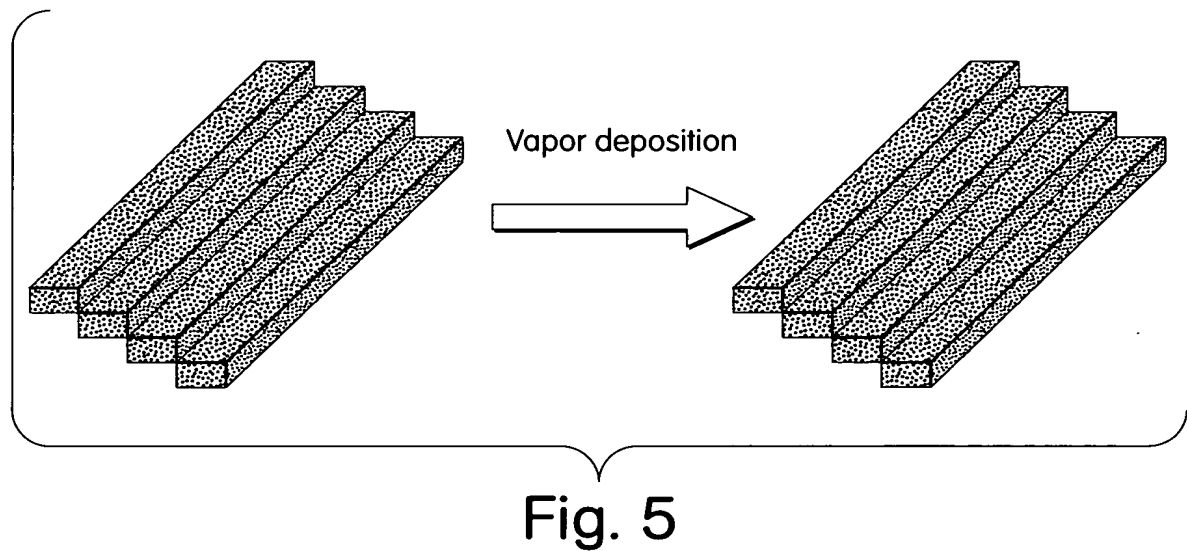


Fig. 5

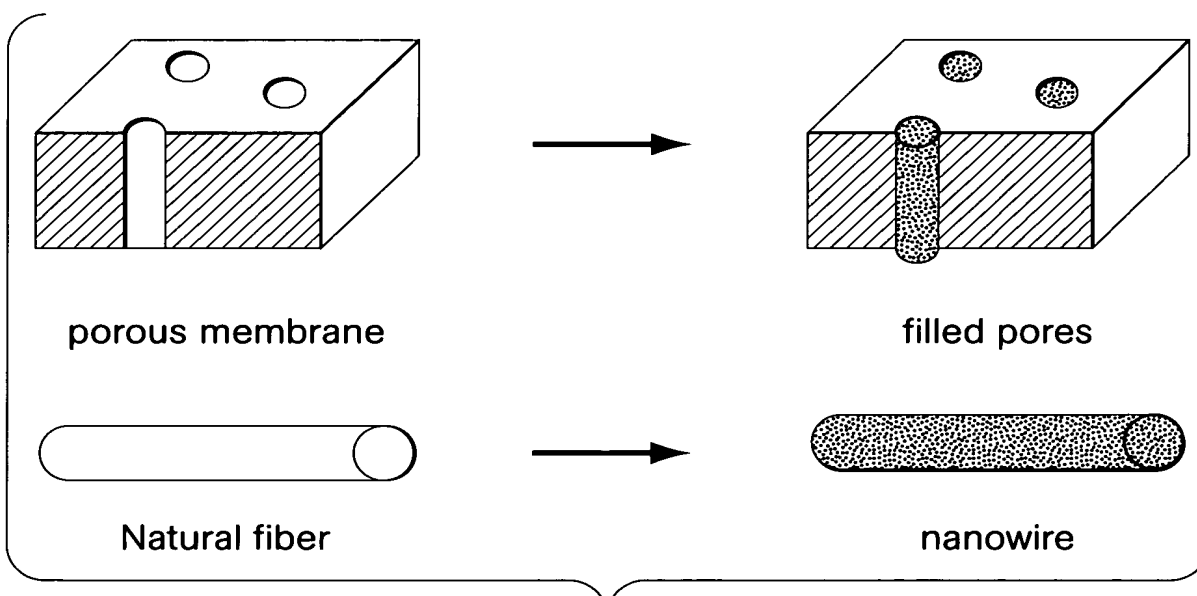


Fig. 6

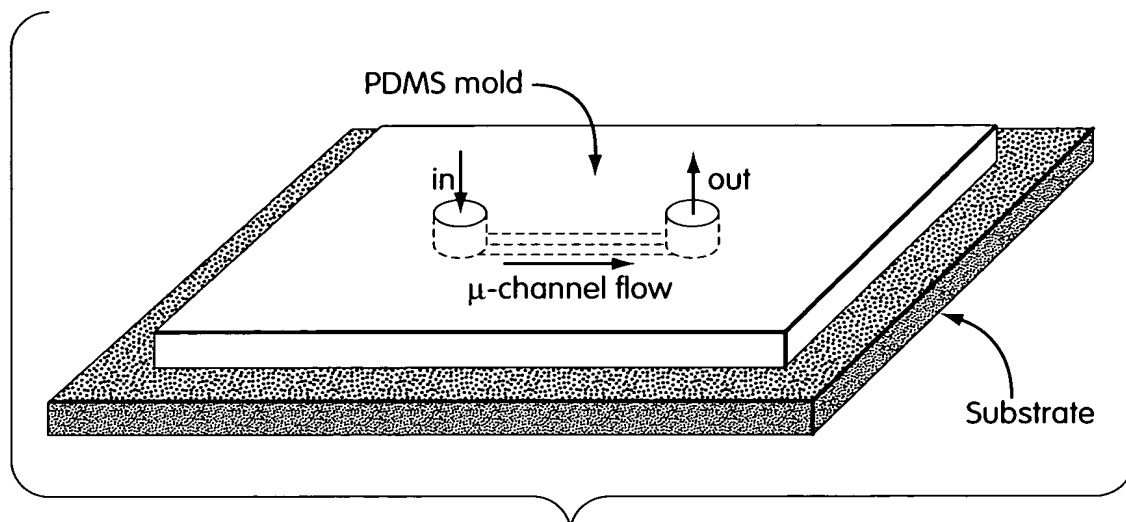


Fig. 7A

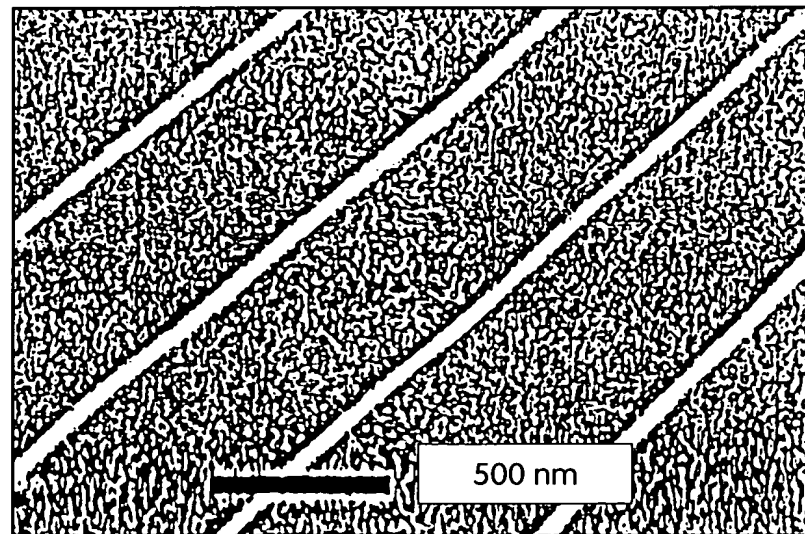
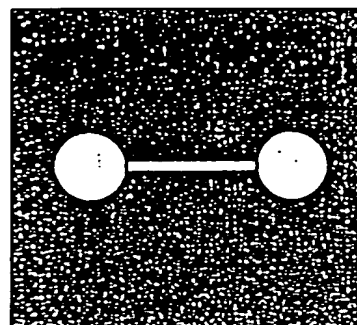


Fig. 7B

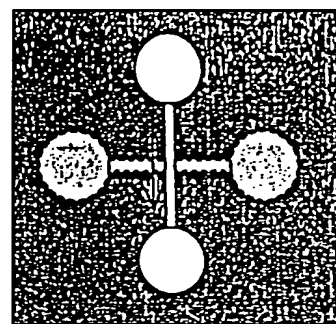
09935726 - 034203

6/43



First layer

Fig. 7C



Second layer

Fig. 7D

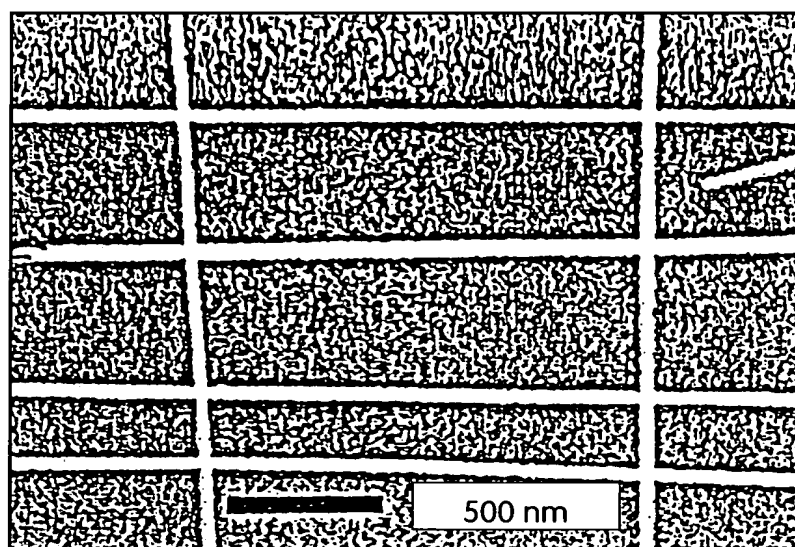


Fig. 7E

09935776 - 031203

7/43

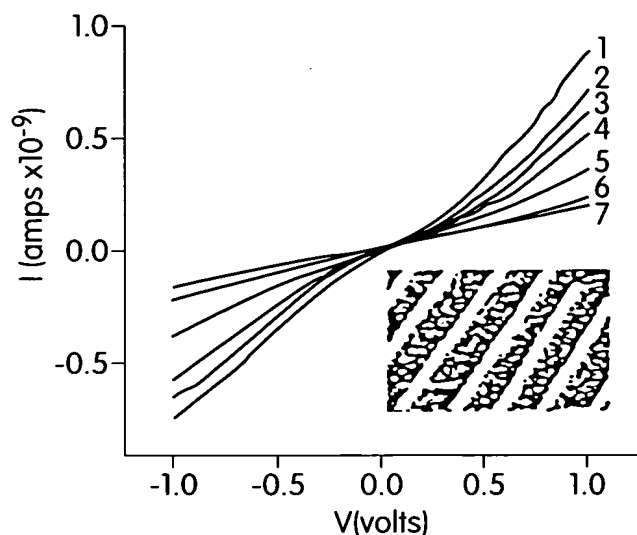


Fig. 8A

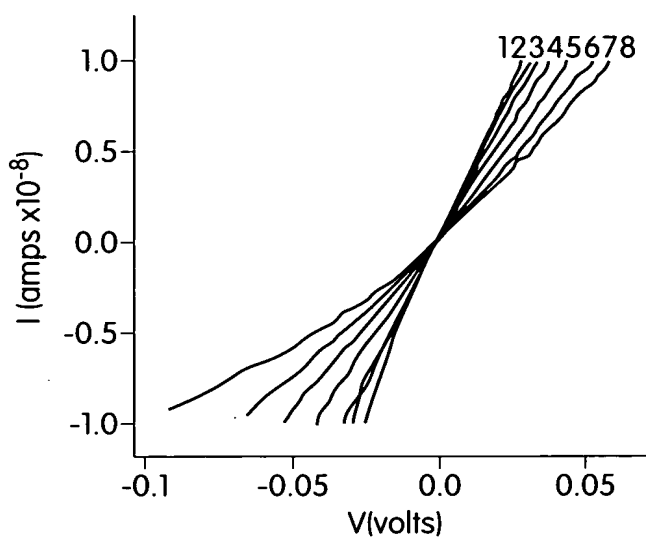


Fig. 8B

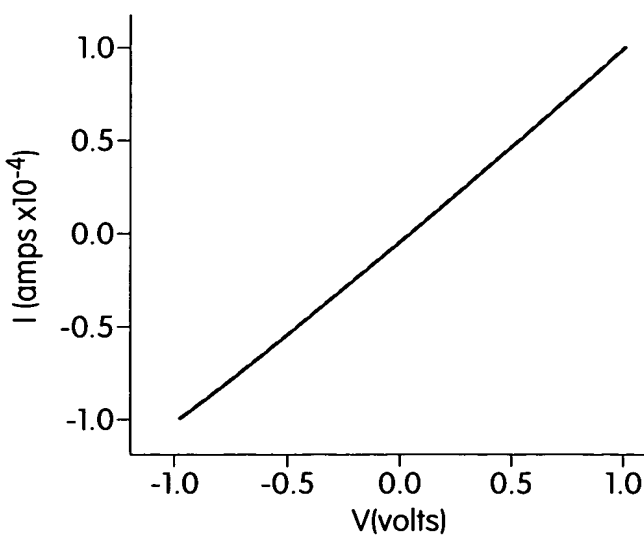


Fig. 8C

2021 FEB 01 9:22 SEC 6150

8/43

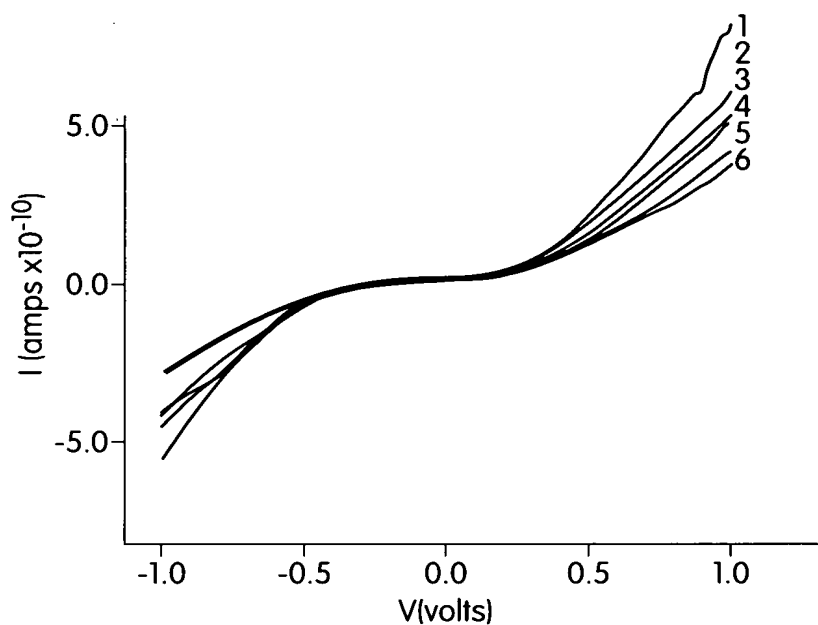


Fig. 9A

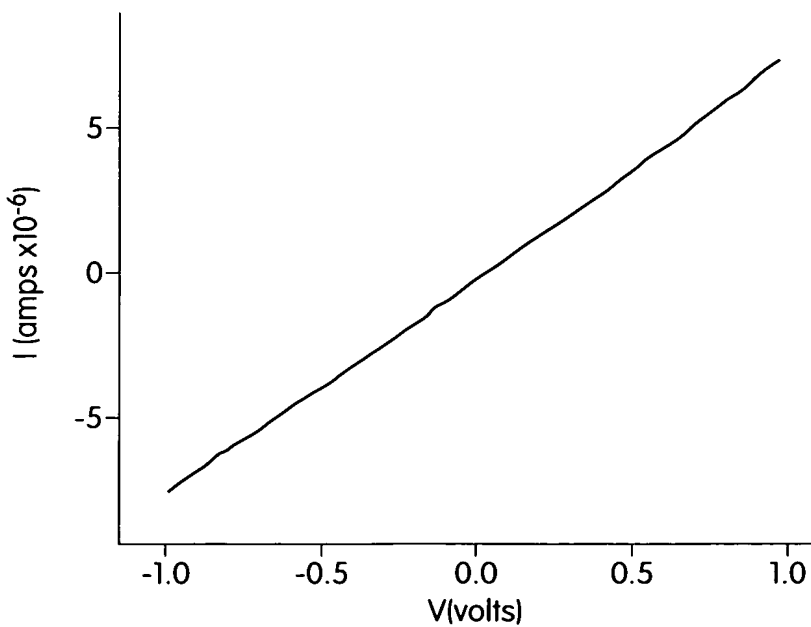


Fig. 9B

9/43

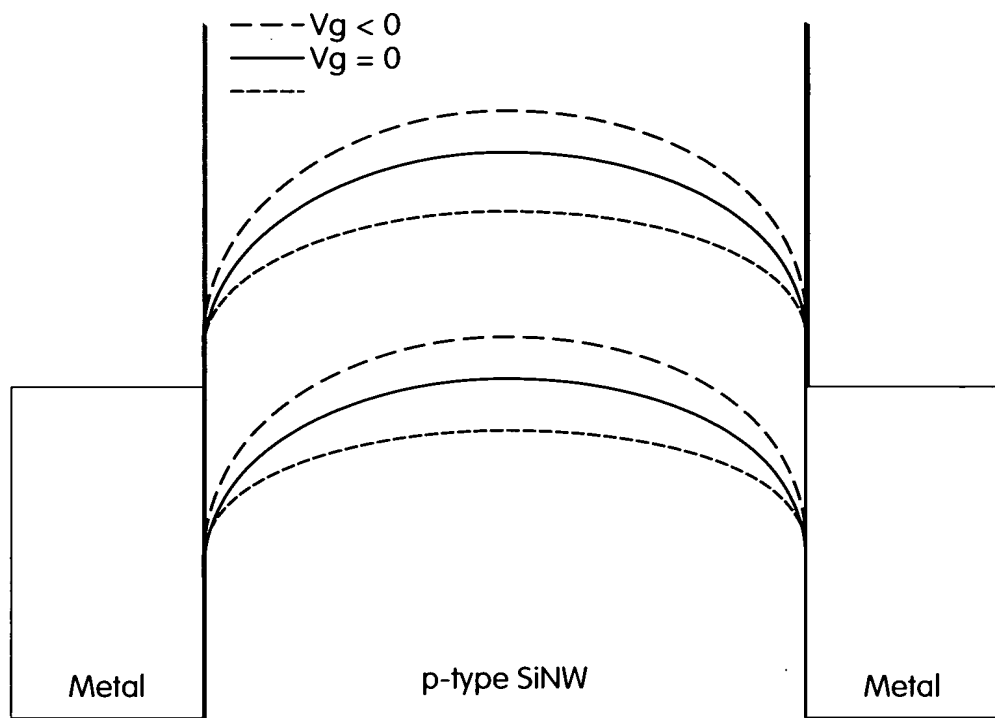


Fig. 10A

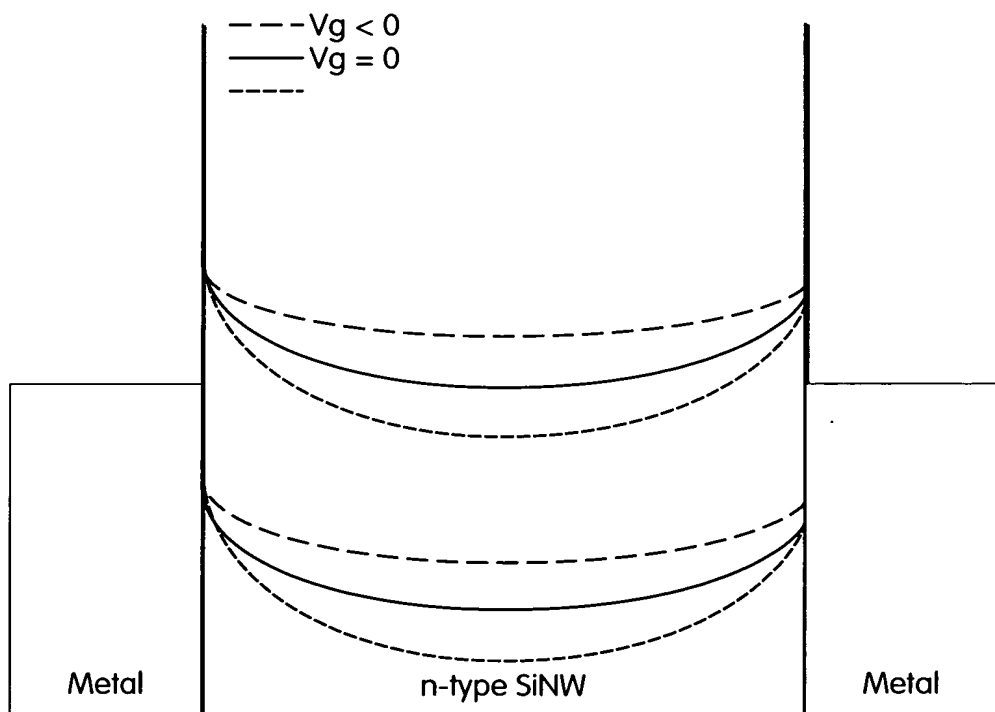


Fig. 10B

10/43

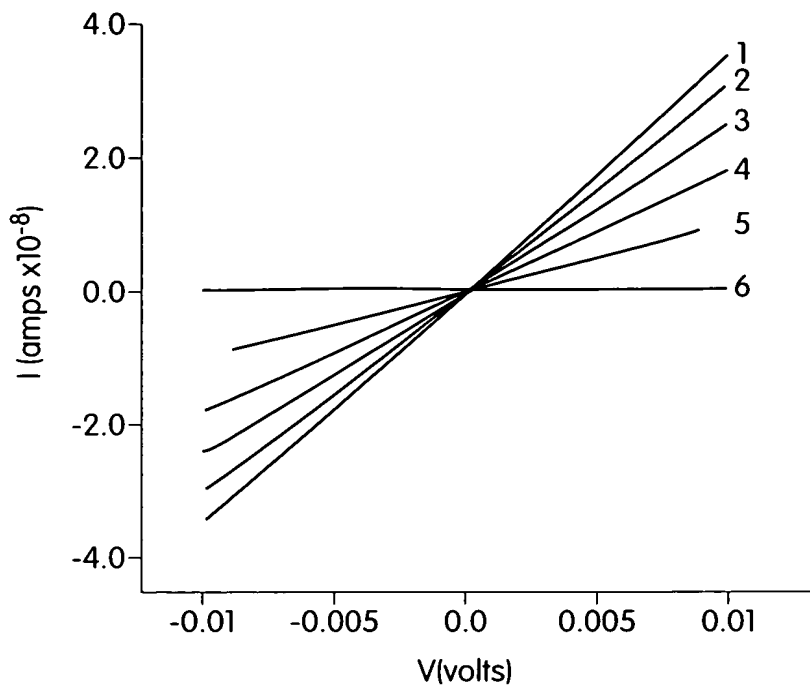


Fig. 11A

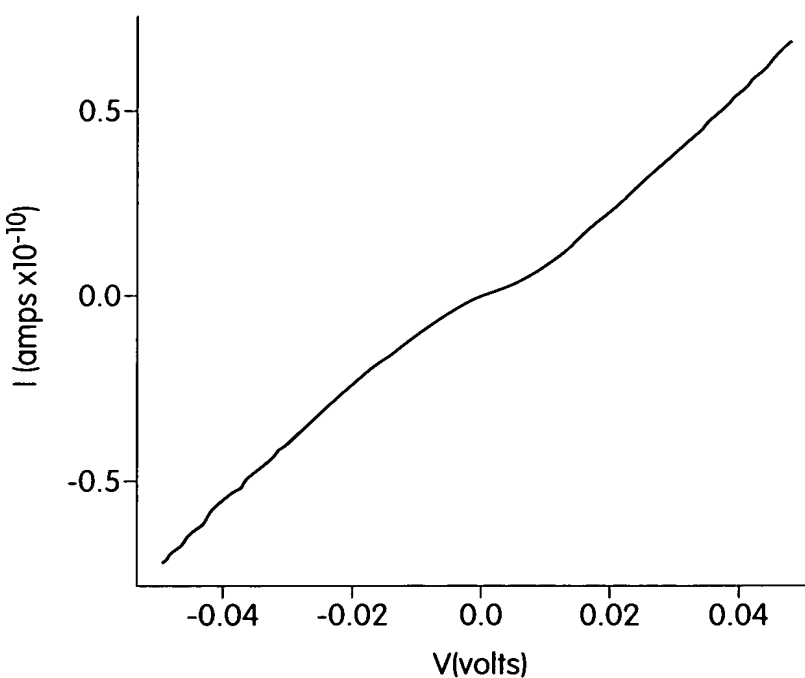


Fig. 11B

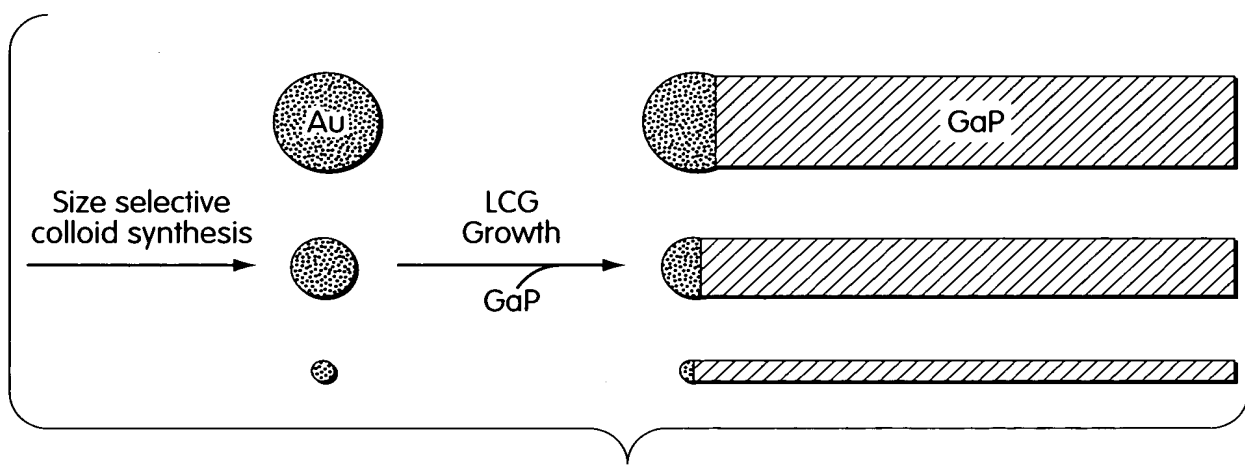


Fig. 12

12/43

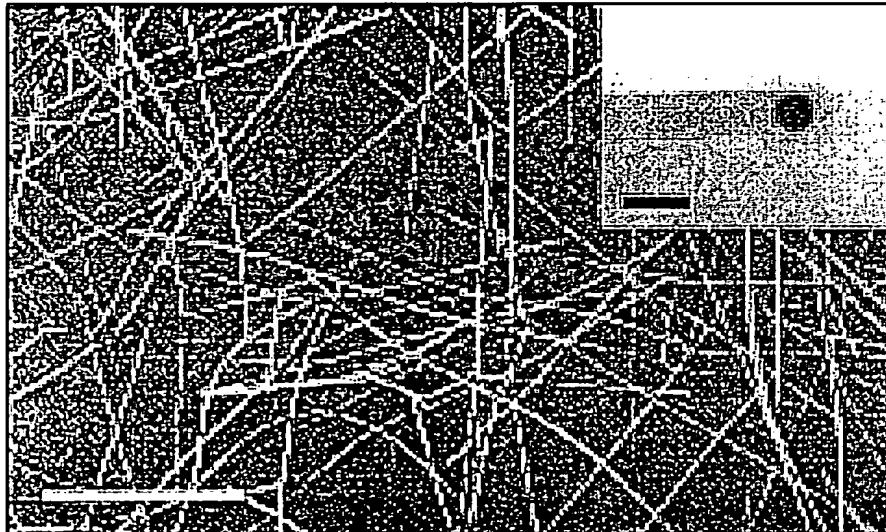


Fig. 13A

2023 RELEASE UNDER E.O. 14176



Fig. 13B

13/43

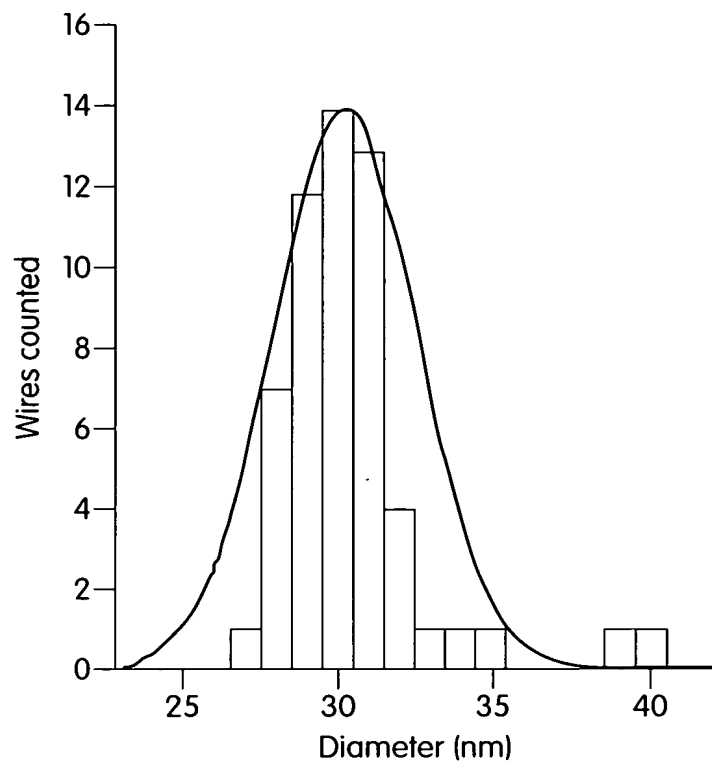


Fig. 14A

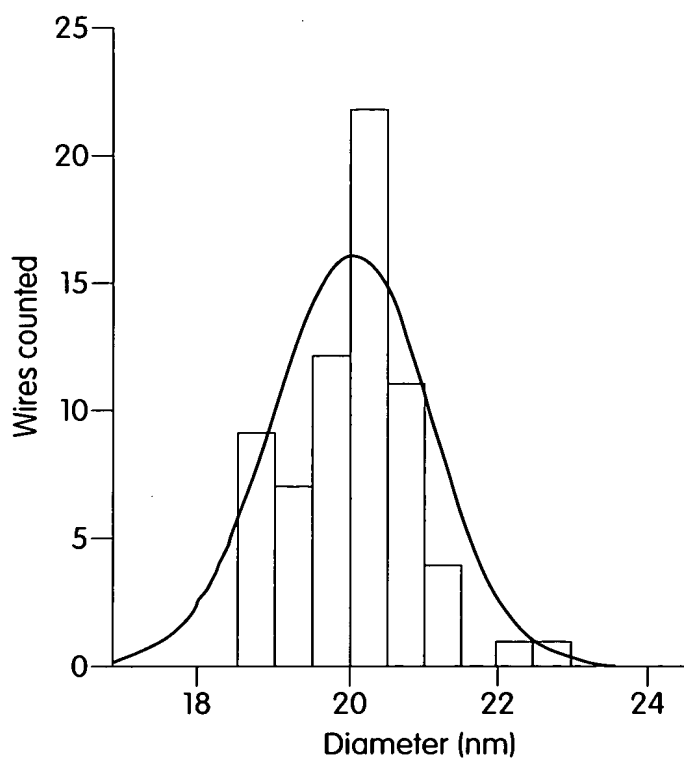


Fig. 14B

14/43

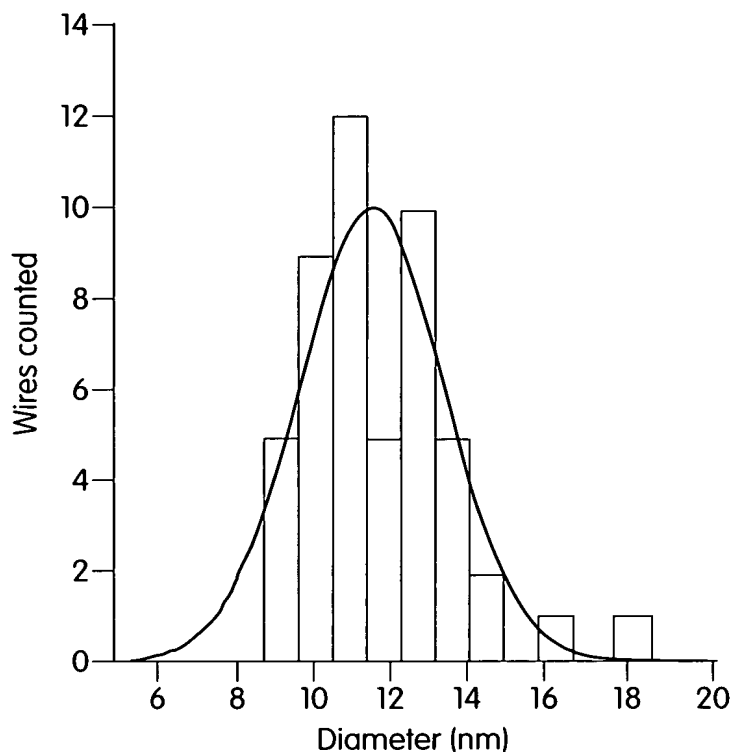


Fig. 14C

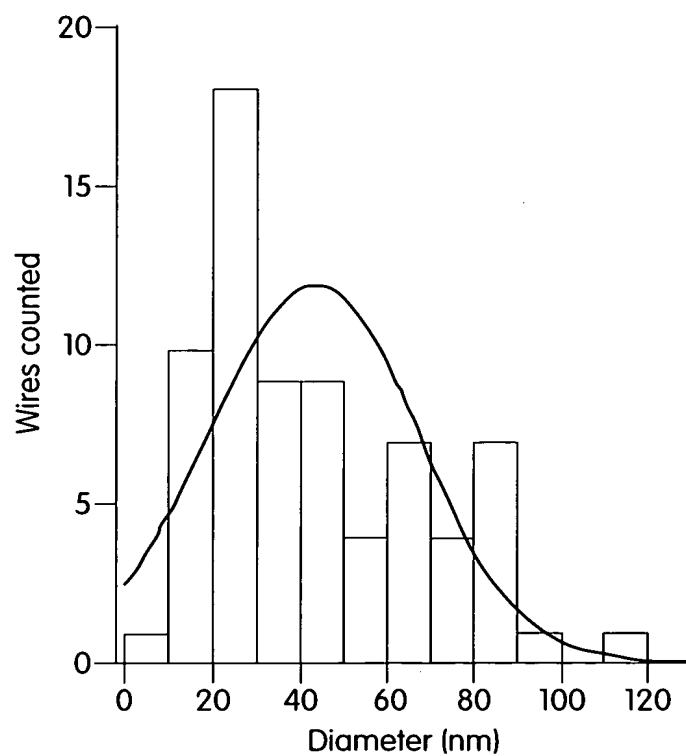


Fig. 14D

2021 EDITION - SPECTRAL SYSTEMS

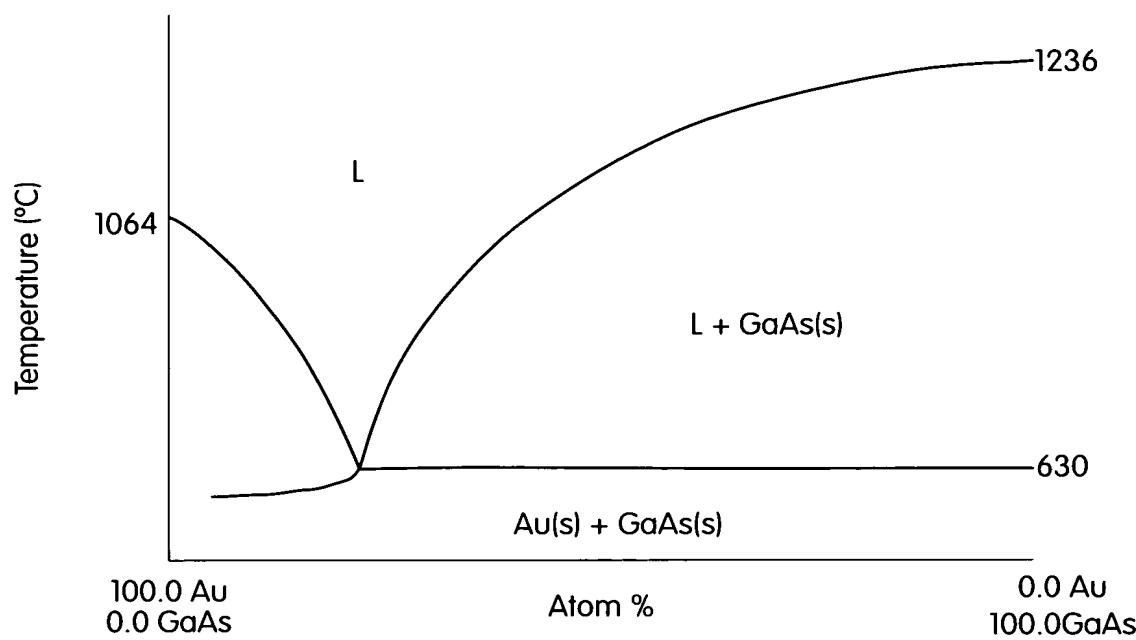


Fig. 15

16/43

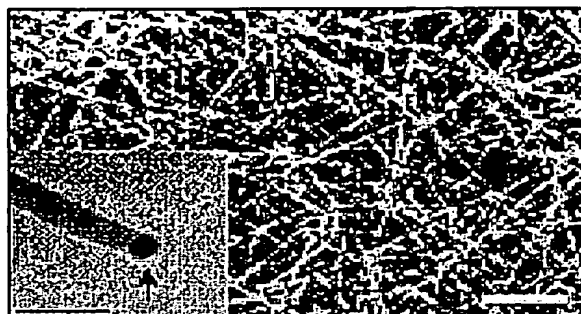


Fig. 16A

2025 RELEASE UNDER E.O. 14176

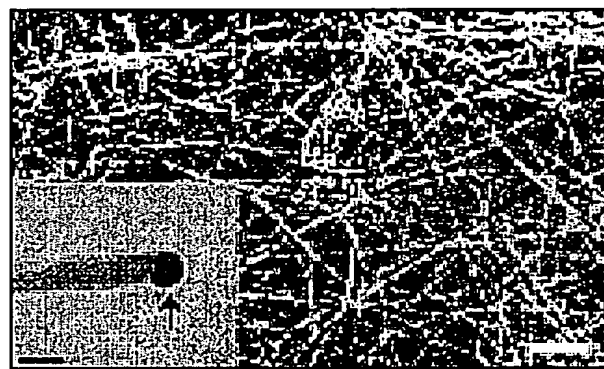


Fig. 16B

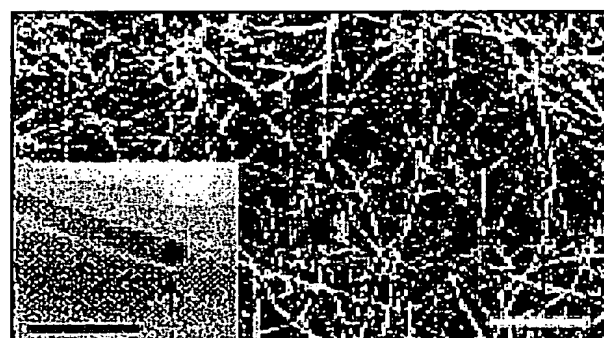


Fig. 16C

17/43

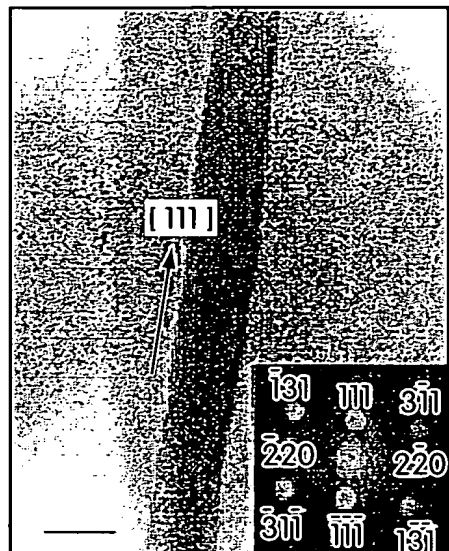


Fig. 17A

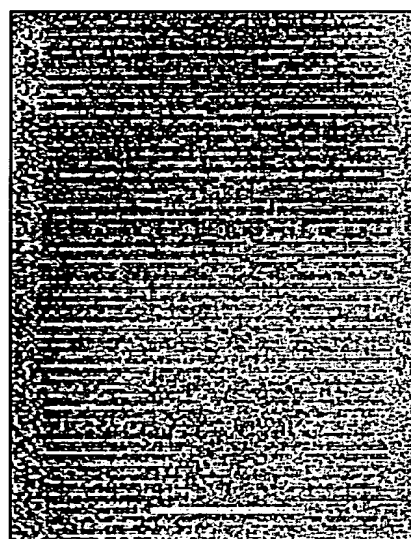


Fig. 17B

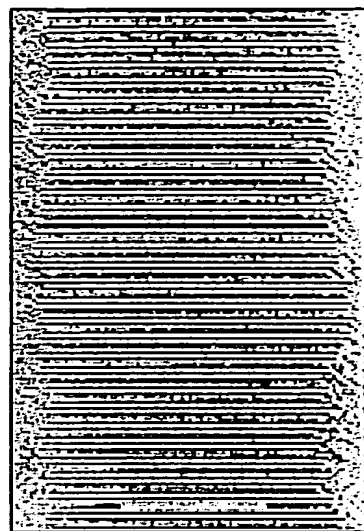


Fig. 17C

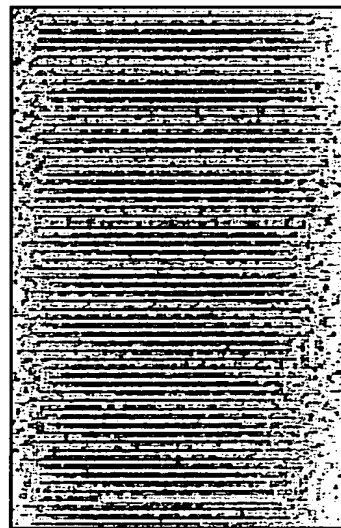


Fig. 17D

19/43

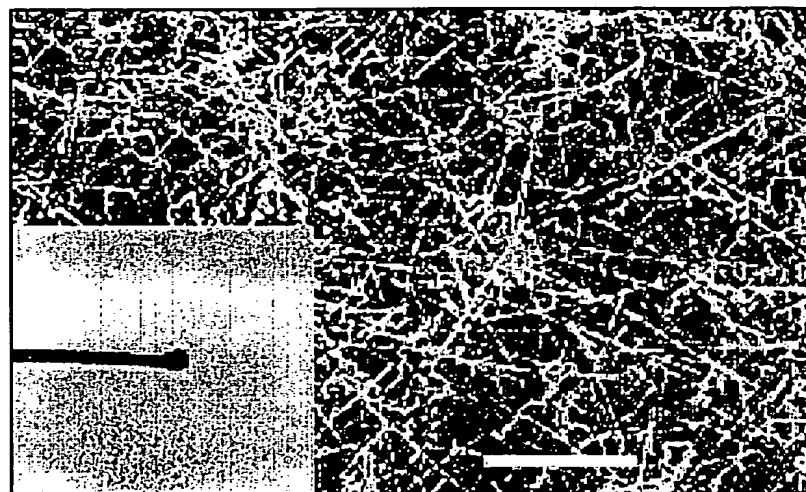


Fig. 18A

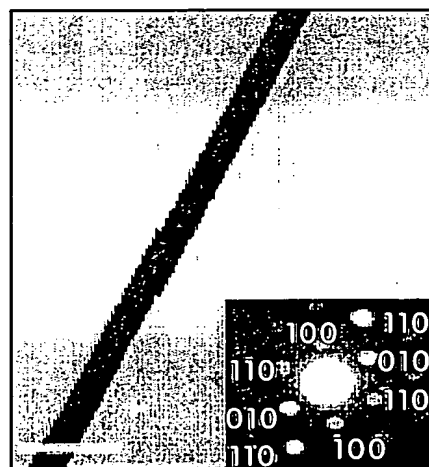


Fig. 18B

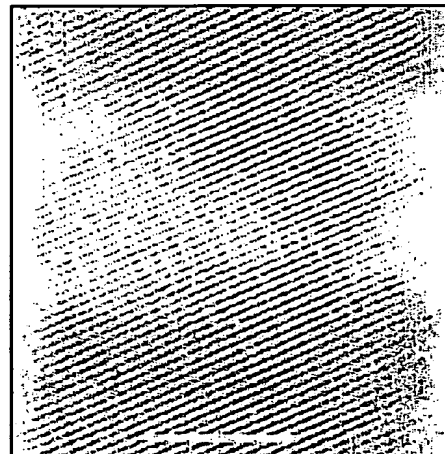


Fig. 18C

09/935/776 - 03/2002

2021-09-22 16:56:00

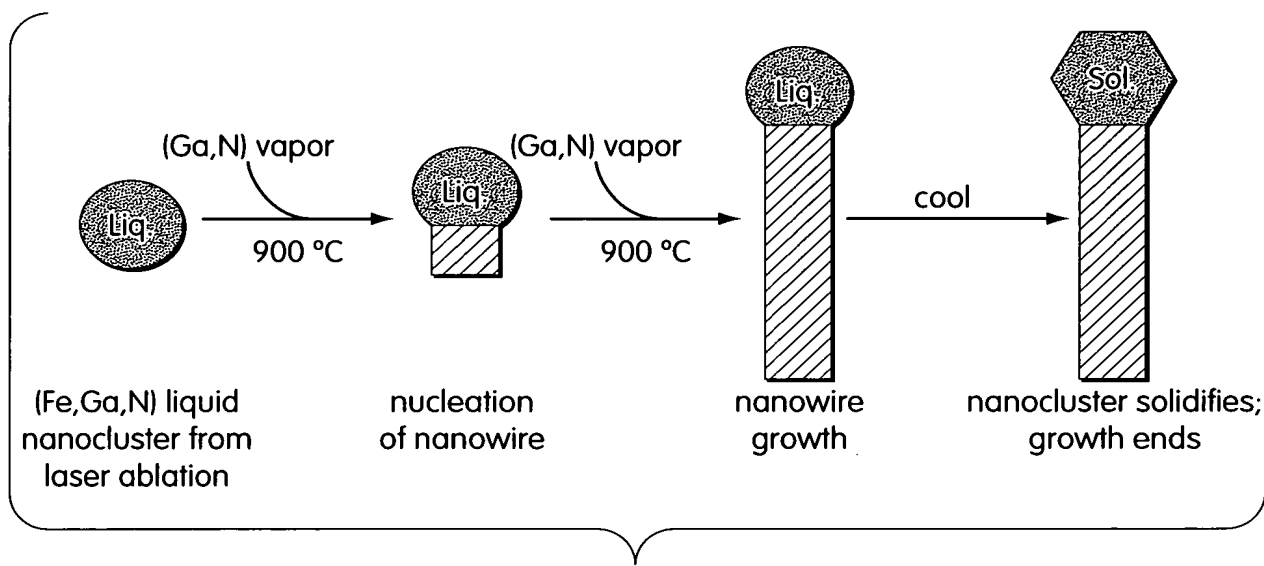


Fig. 19

21/43

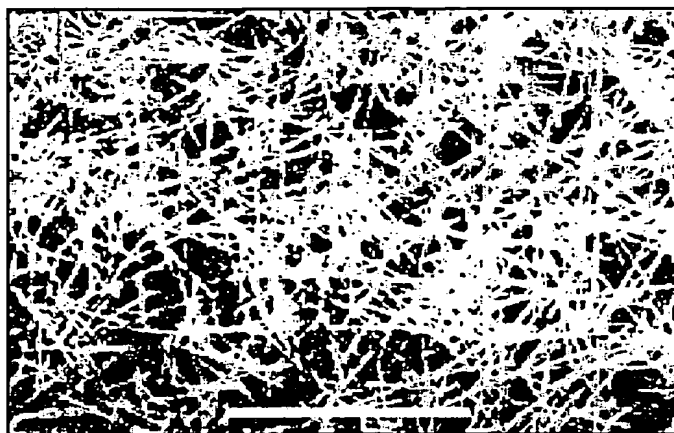


Fig. 20A

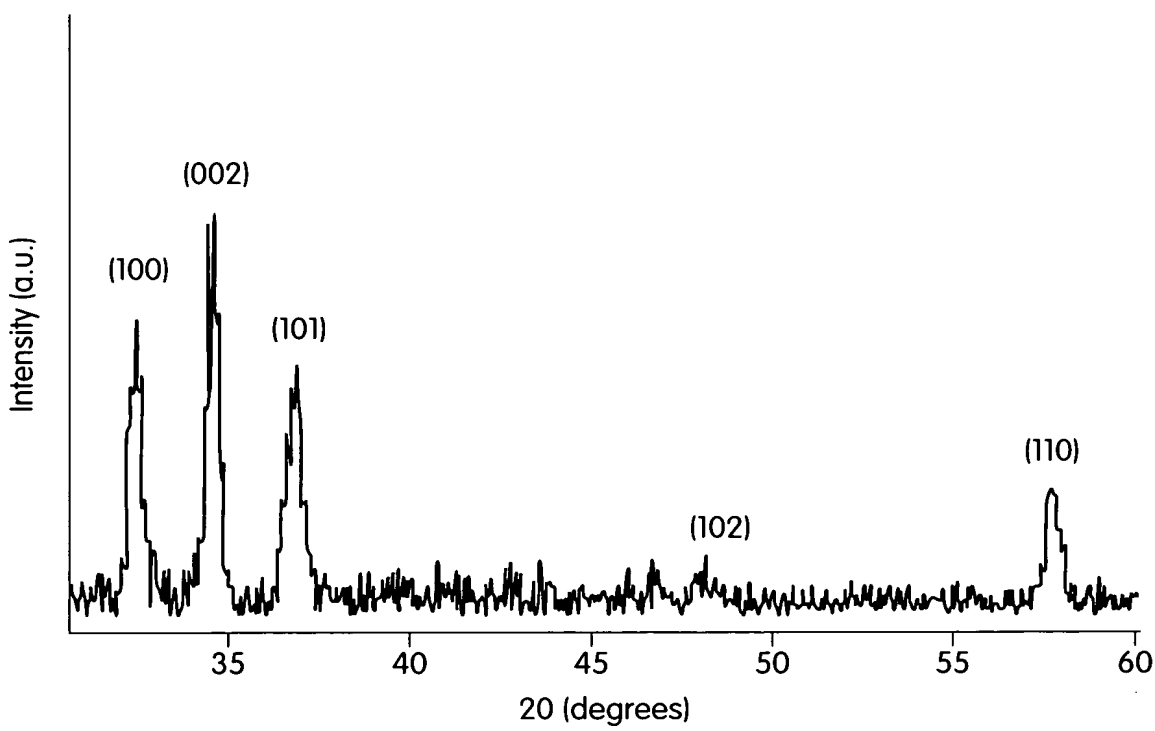


Fig. 20B

22/43

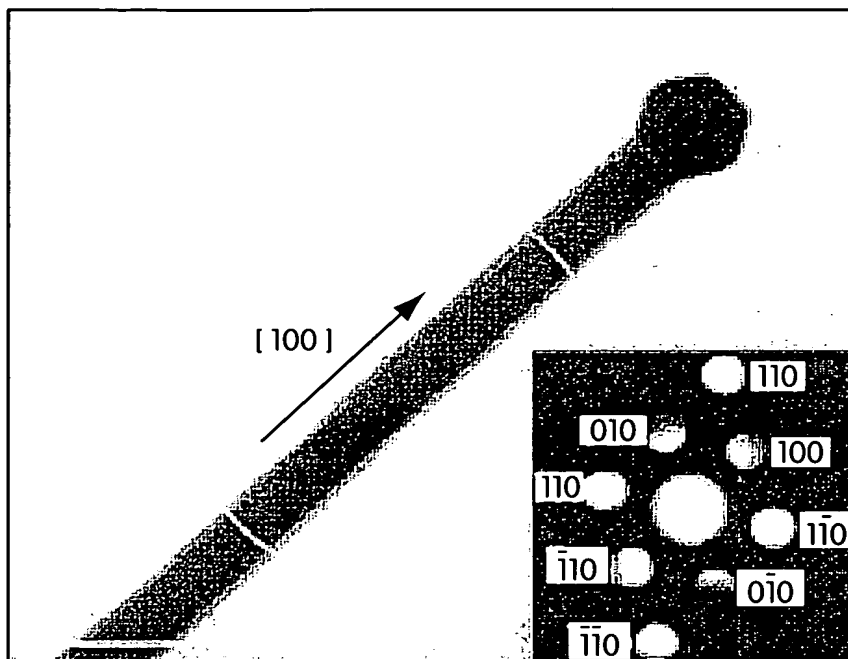


Fig. 21A

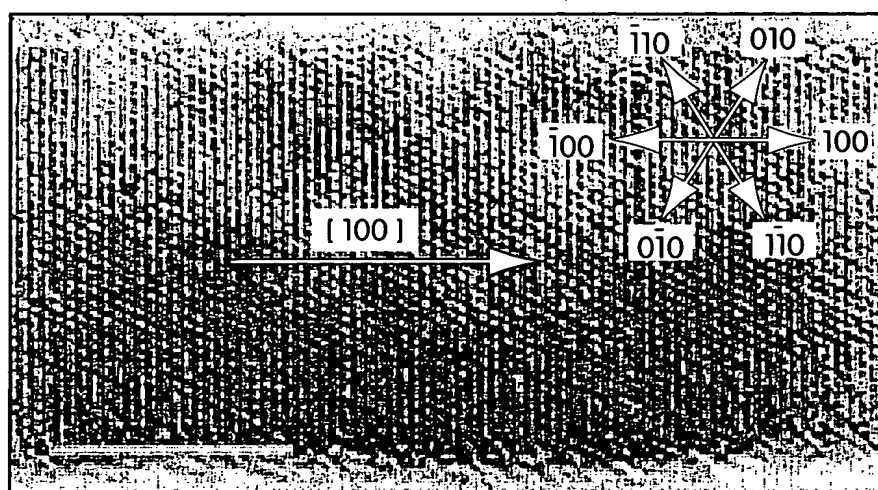


Fig. 21B

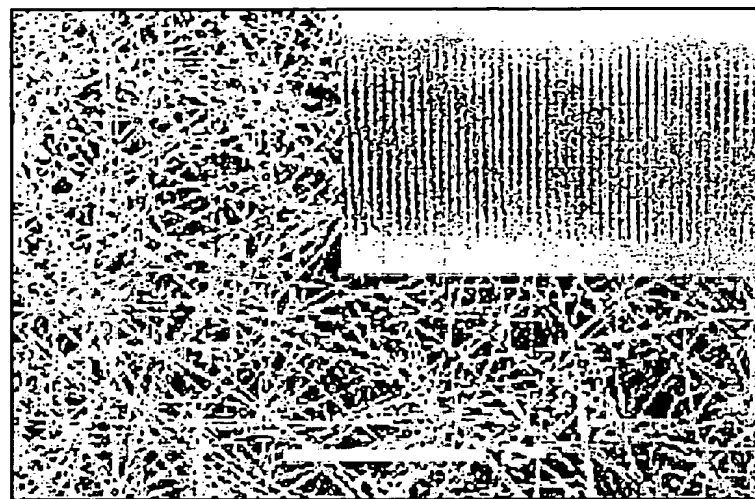


Fig. 22A

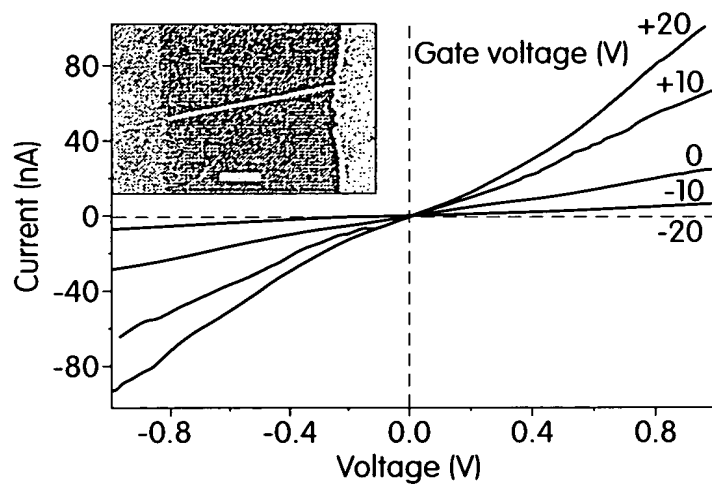


Fig. 22B

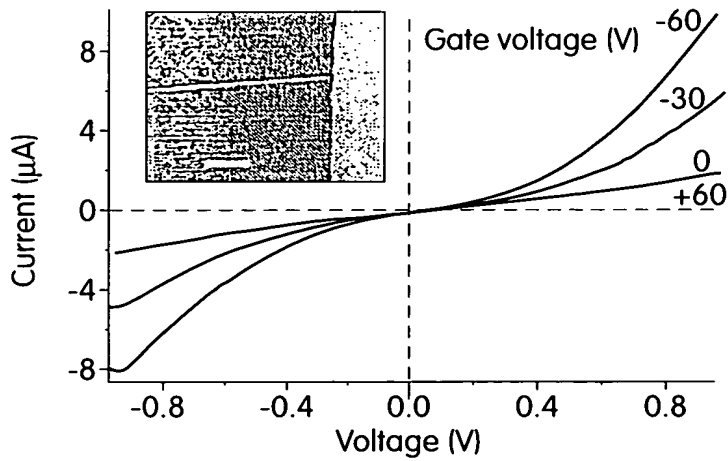


Fig. 22C

24/43

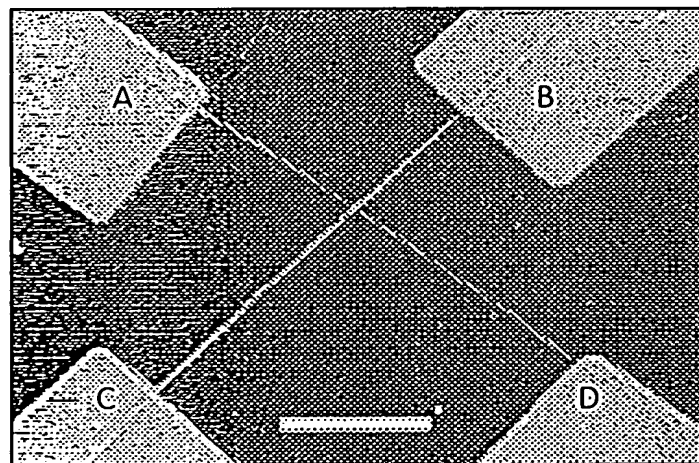


Fig. 23A

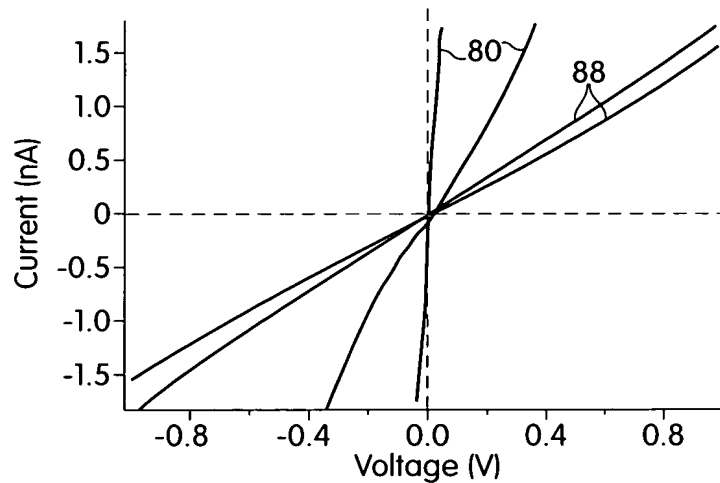


Fig. 23B

25/43

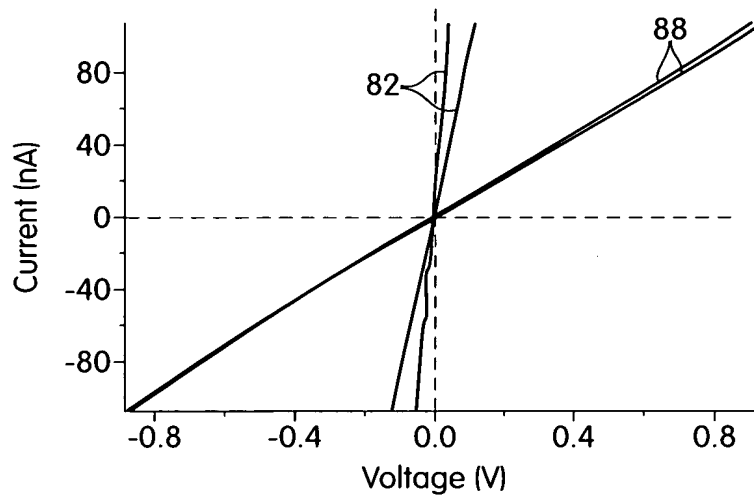


Fig. 23C

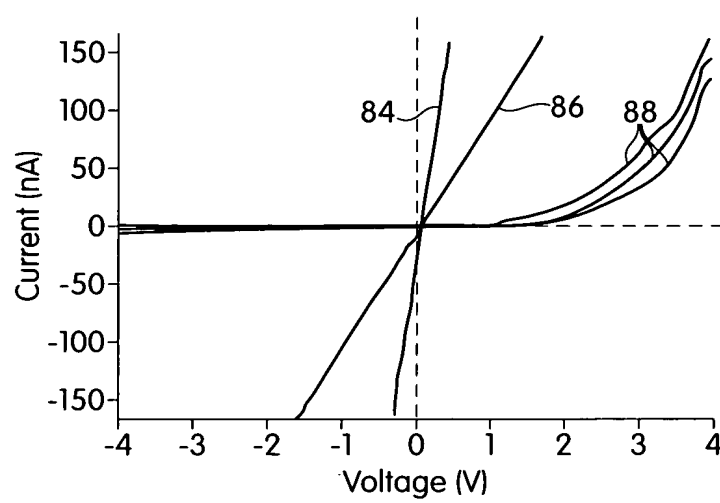


Fig. 23D

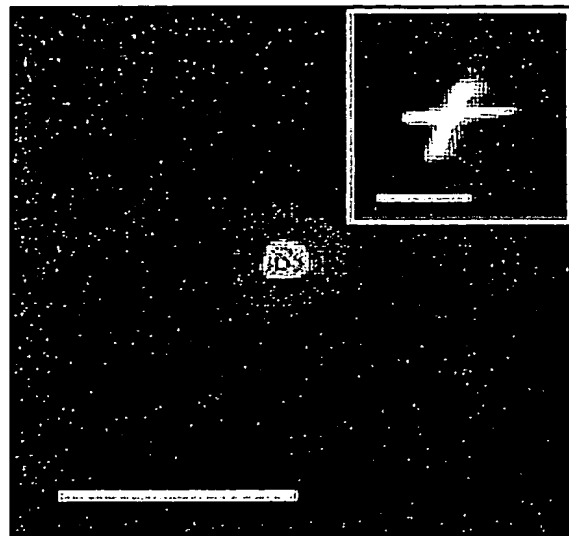


Fig. 24A

2021PTE009425SE660

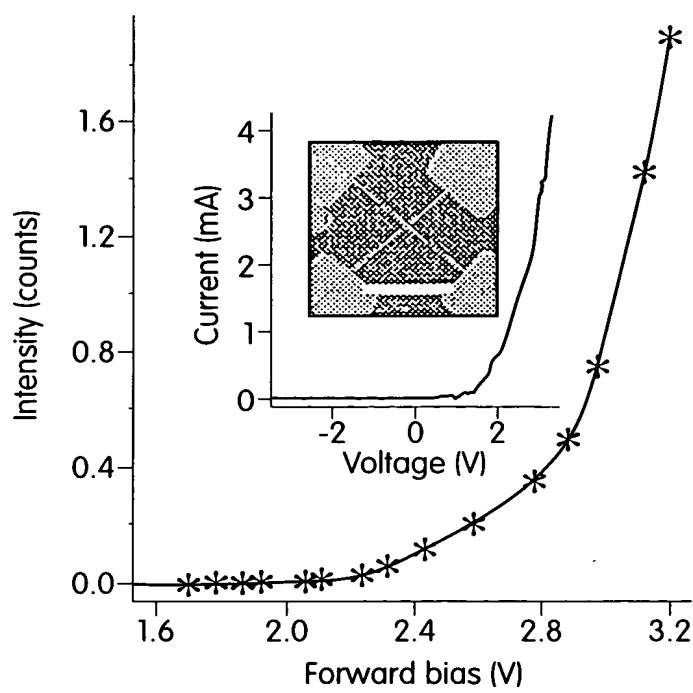


Fig. 24B

27/43

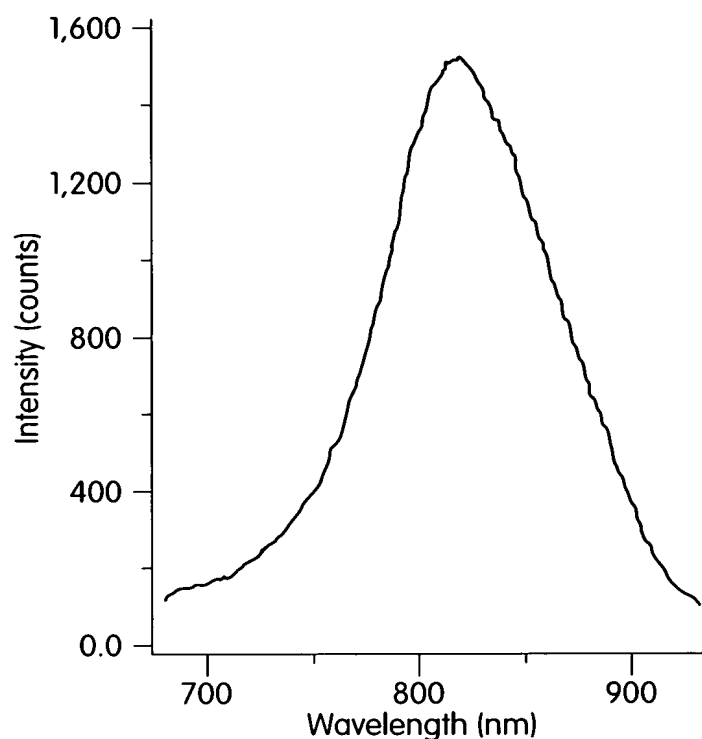


Fig. 24C

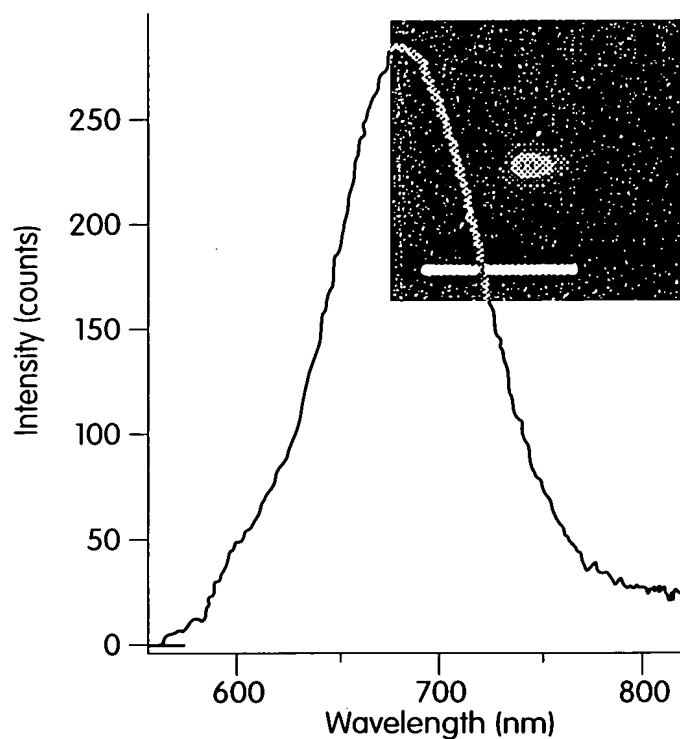


Fig. 24D

28/43

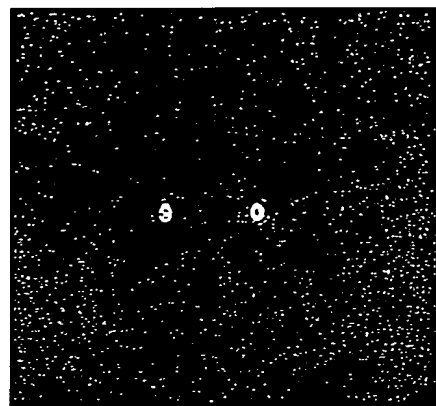


Fig. 25A

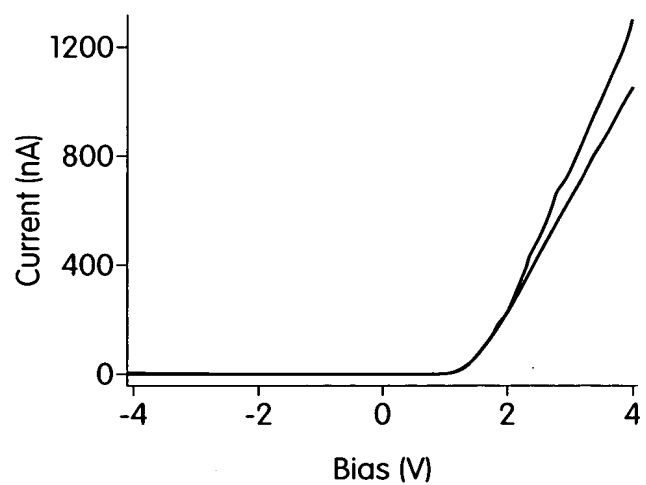


Fig. 25B

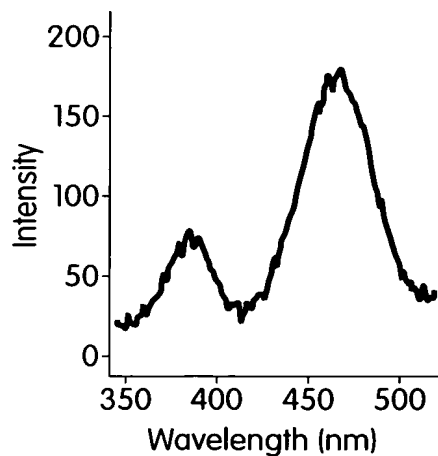


Fig. 25C

29/43

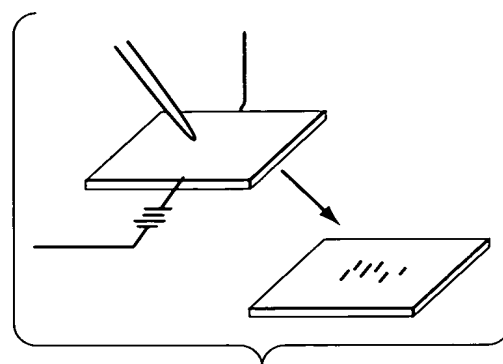


Fig. 26A

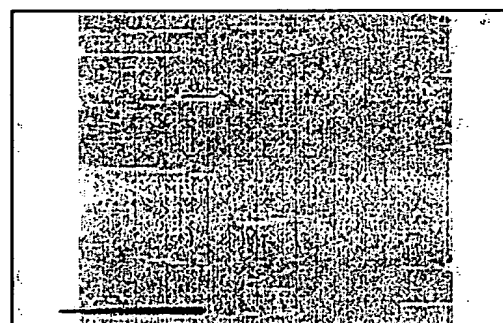


Fig. 26B

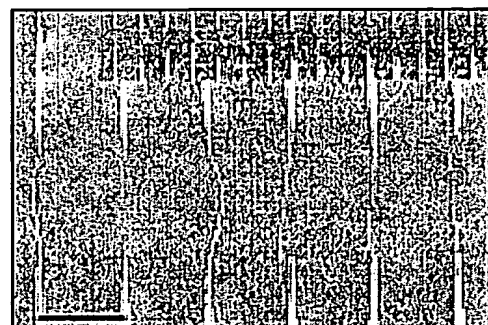


Fig. 26C

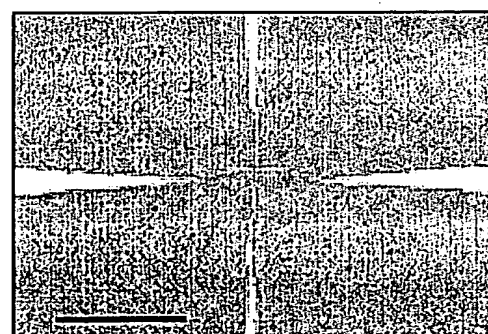


Fig. 26D

30/43

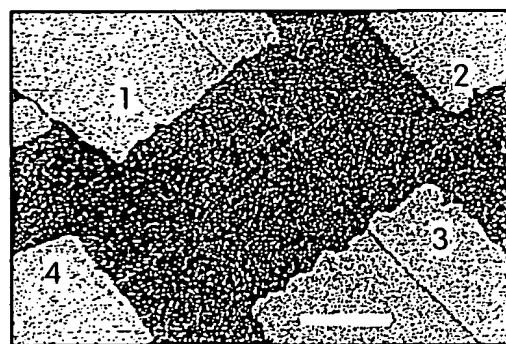


Fig. 27A

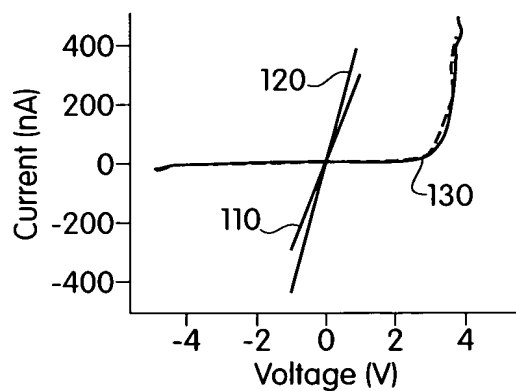


Fig. 27B

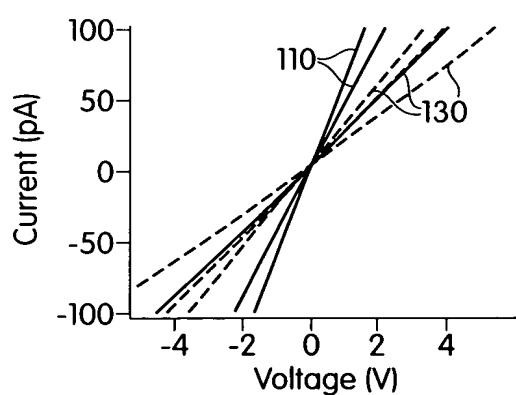


Fig. 27C

31/43

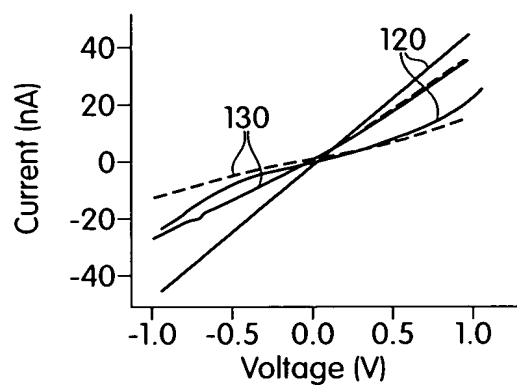
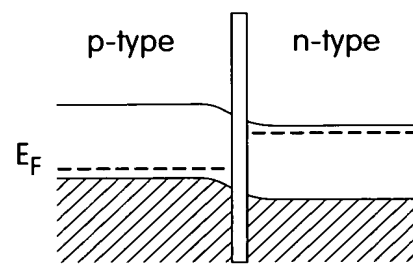
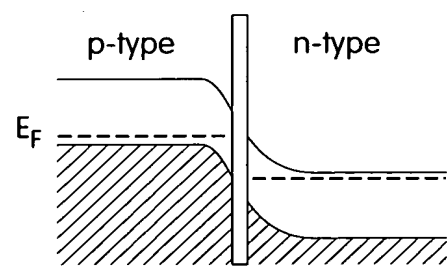


Fig. 27D



Forward bias
Fig. 27E



Reverse bias

Fig. 27F

32/43

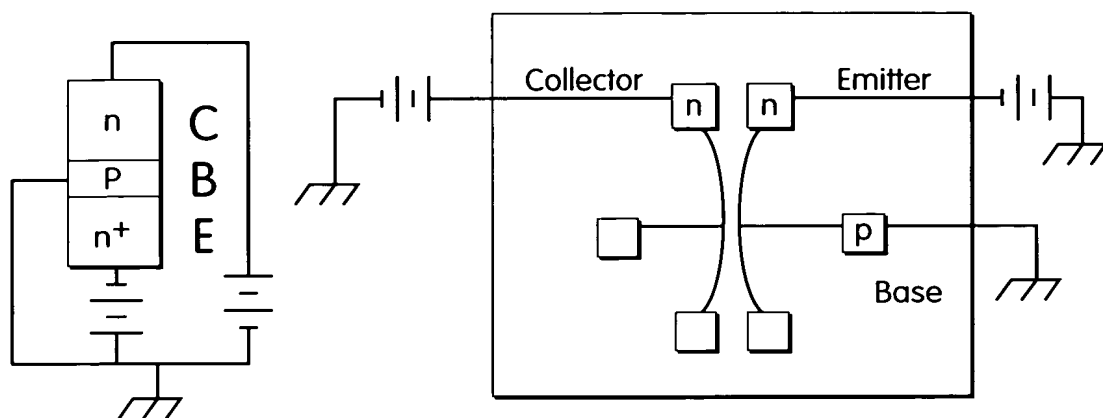


Fig. 28A

REF ID: E02202

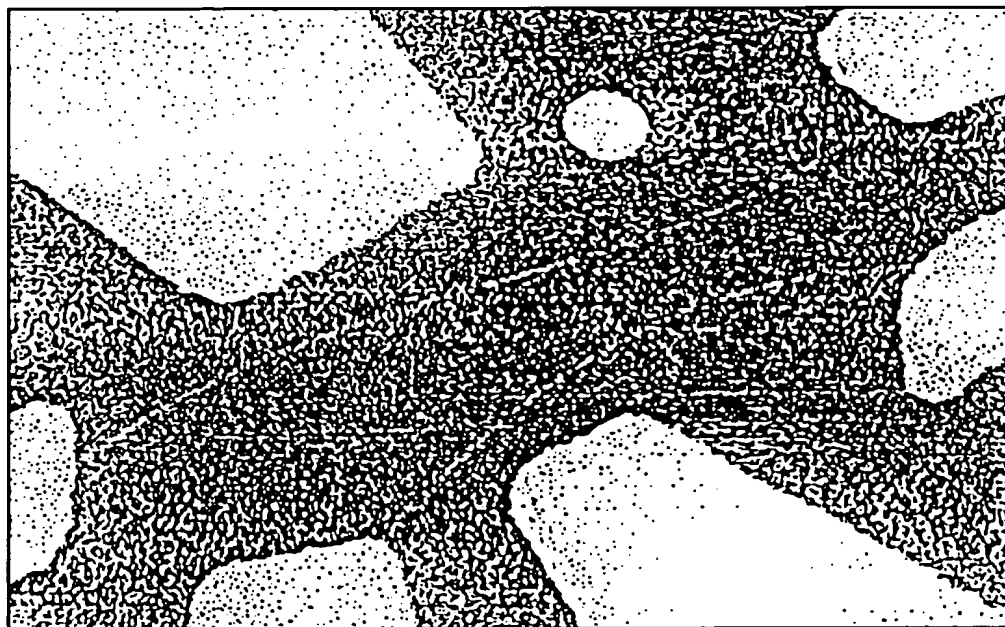


Fig. 28B

33/43

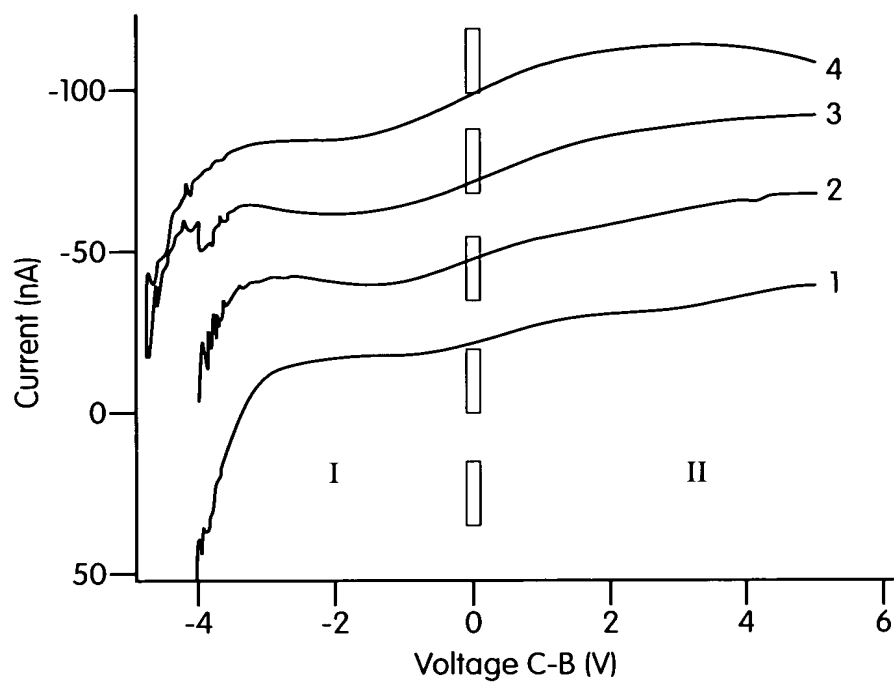


Fig. 28C

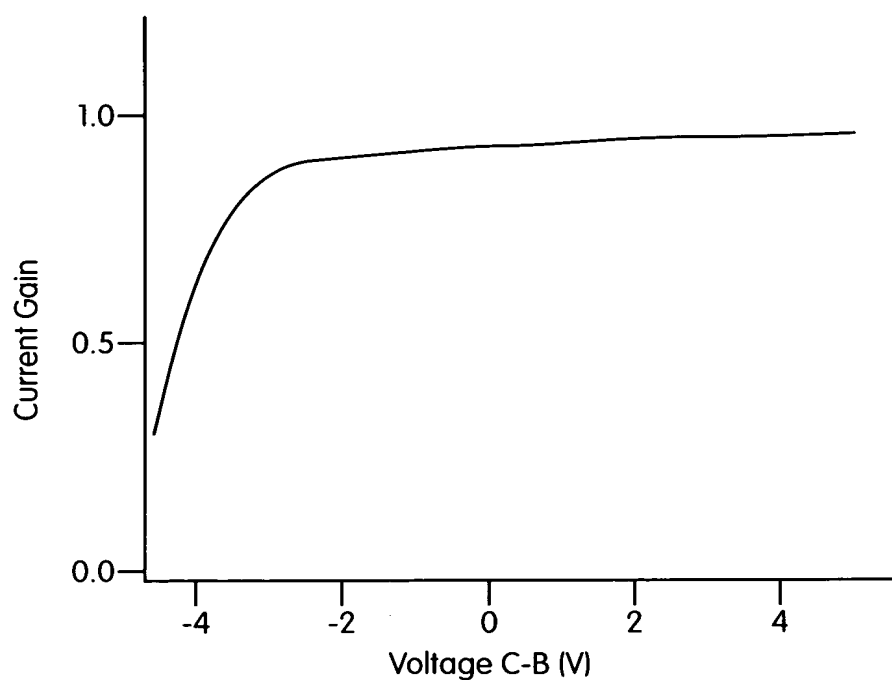


Fig. 28D

34/43

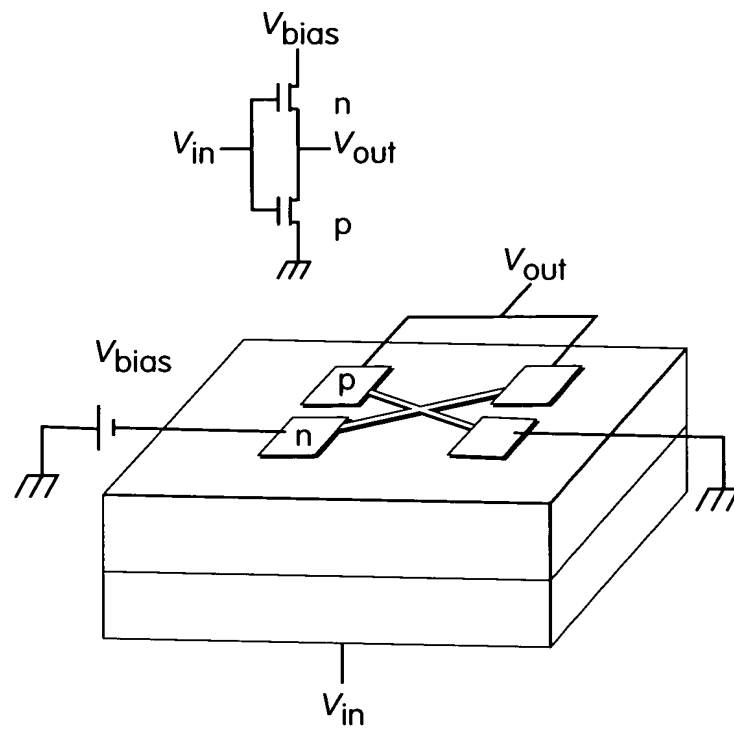


Fig. 29A

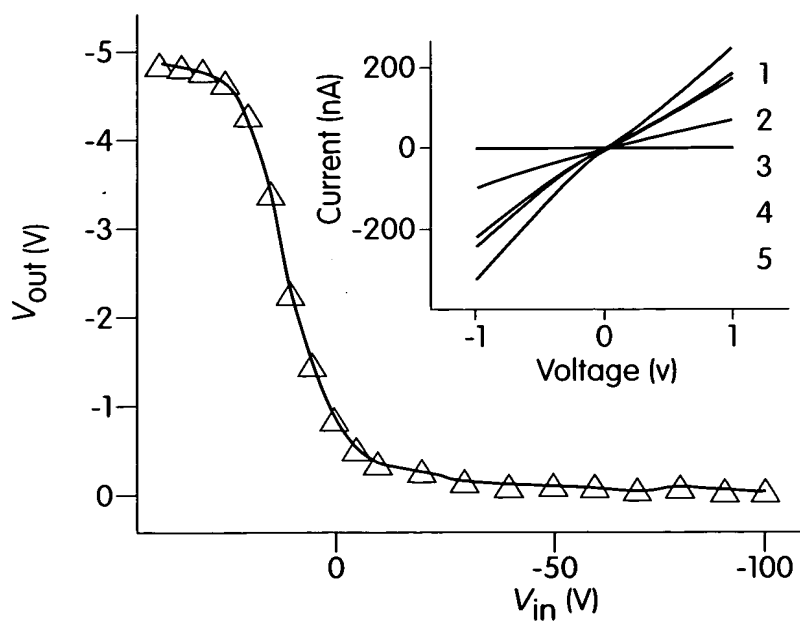


Fig. 29B

35/43

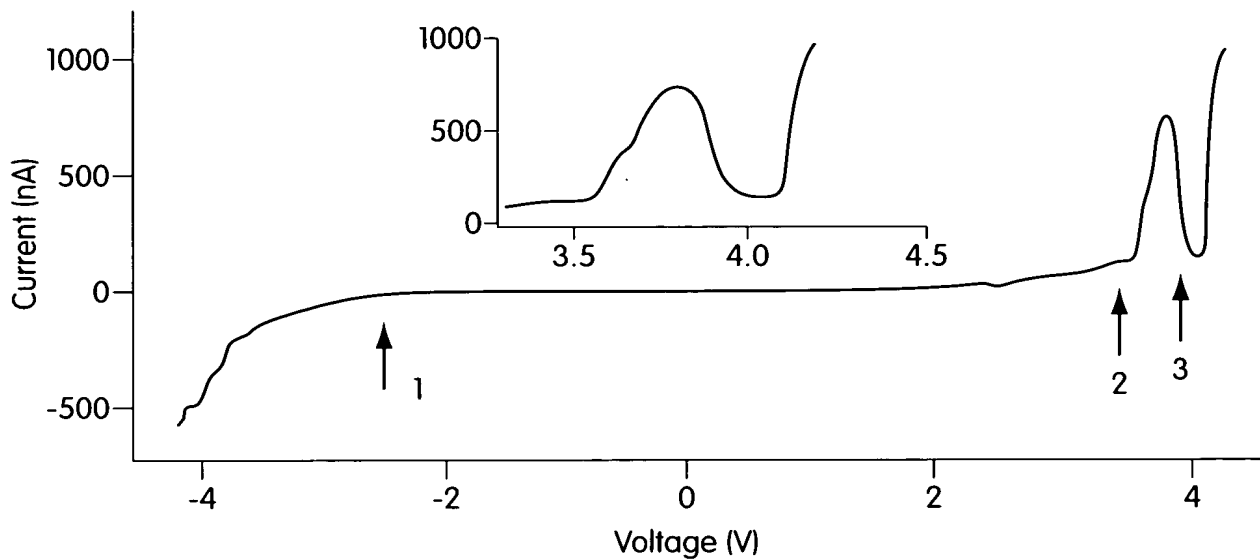


Fig. 29C

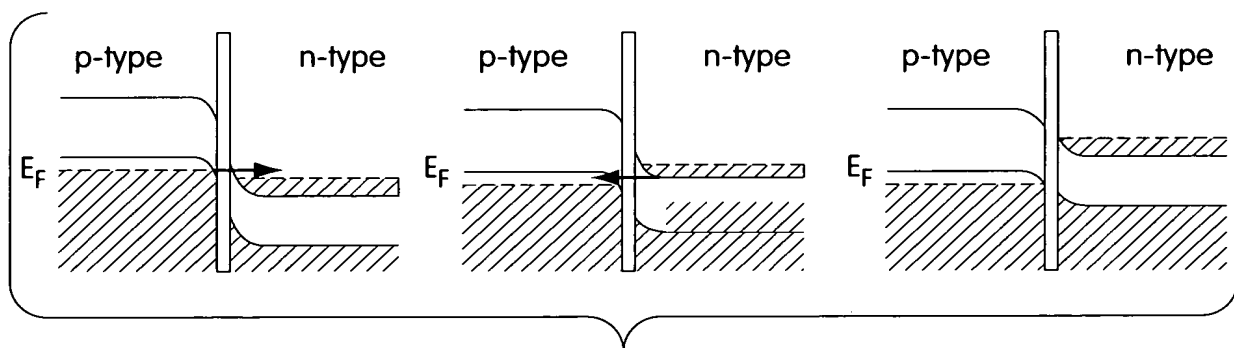


Fig. 29D

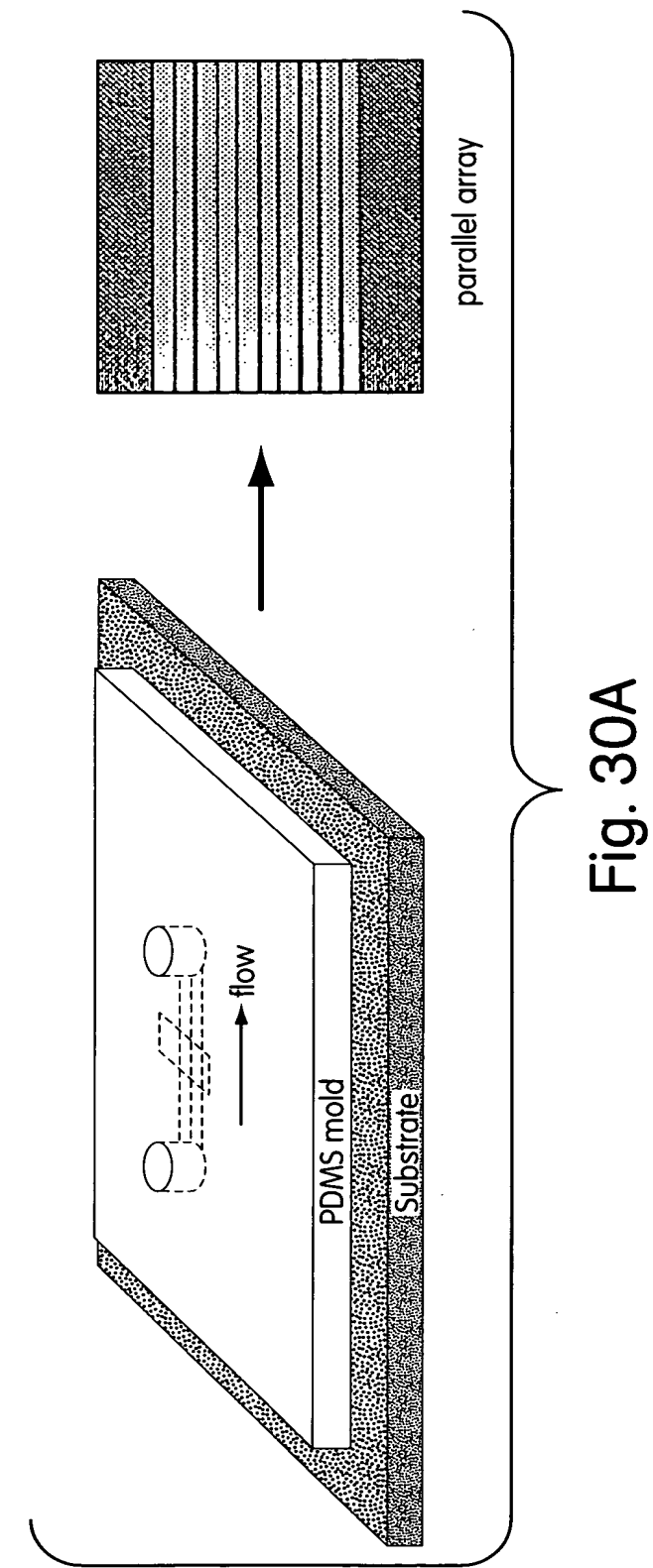


Fig. 30A

6002

202 PEO "SIC SITE 660

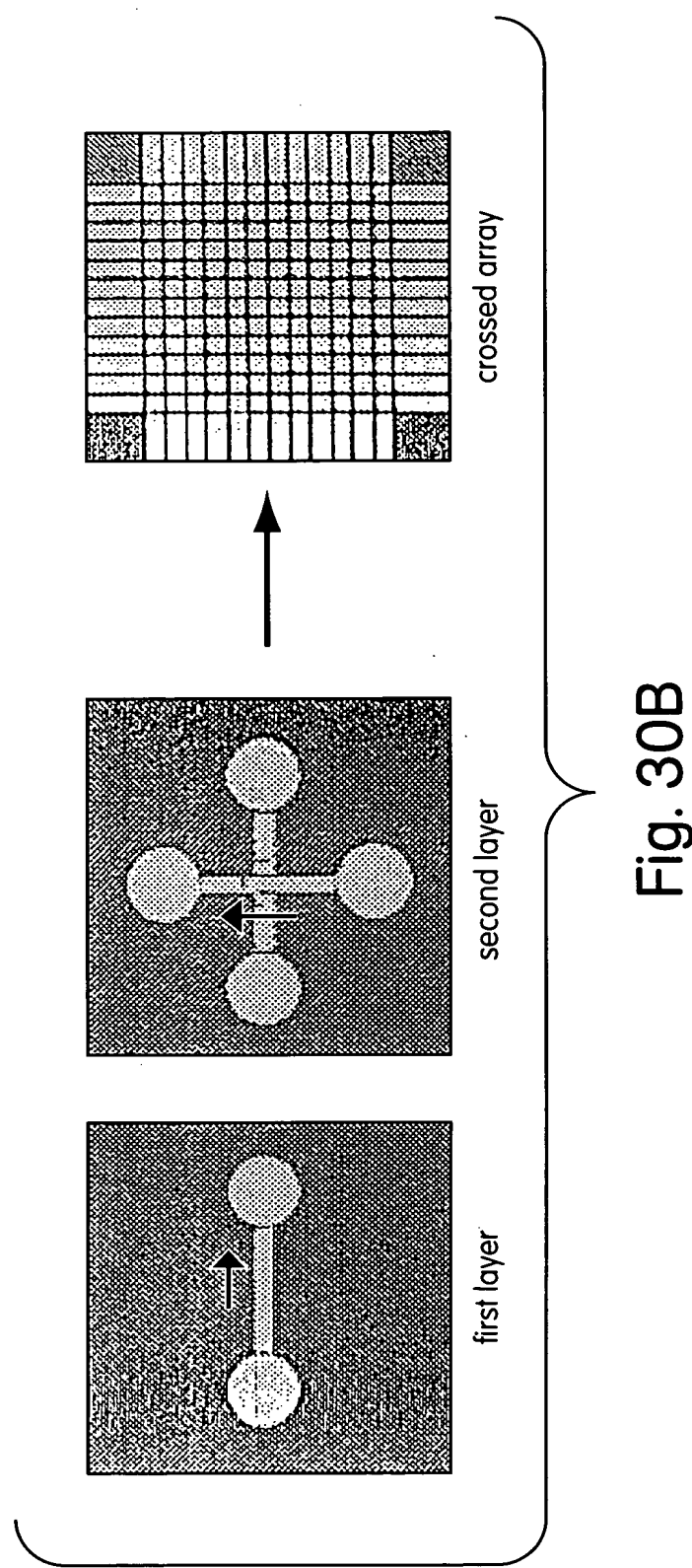


Fig. 30B

38/43

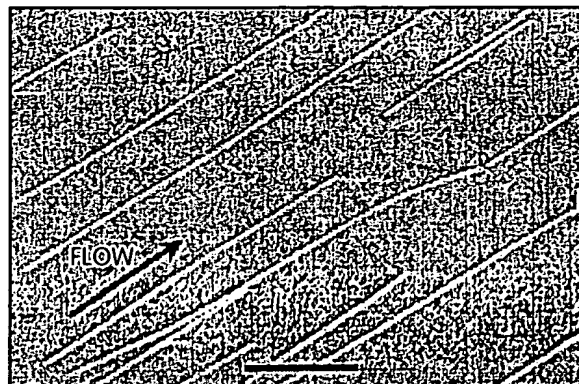


Fig. 31A

20220607-0312060

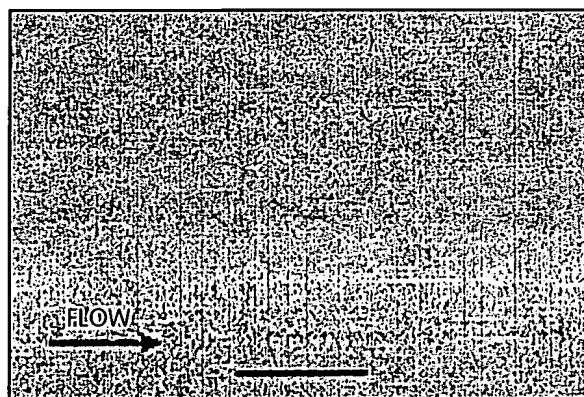


Fig. 31B

39/43

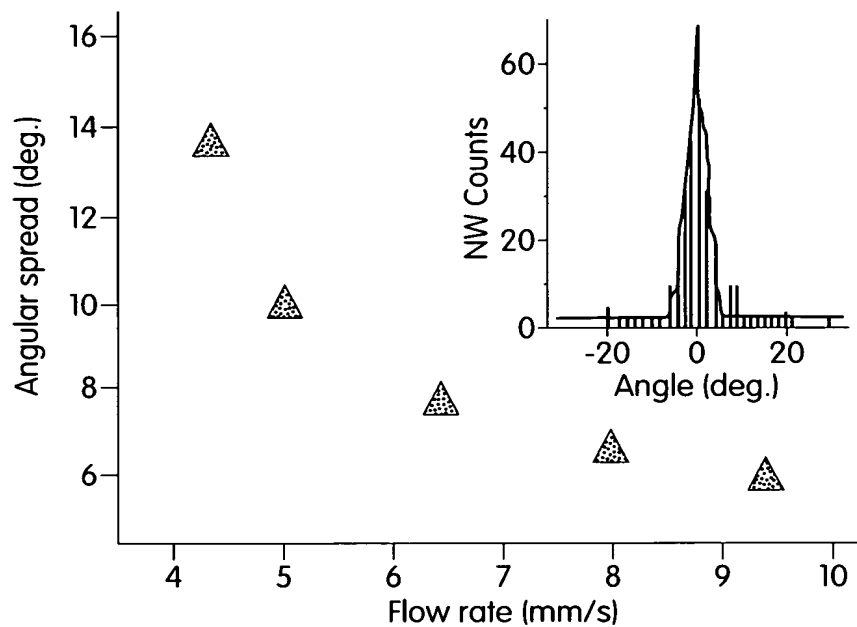


Fig. 31C

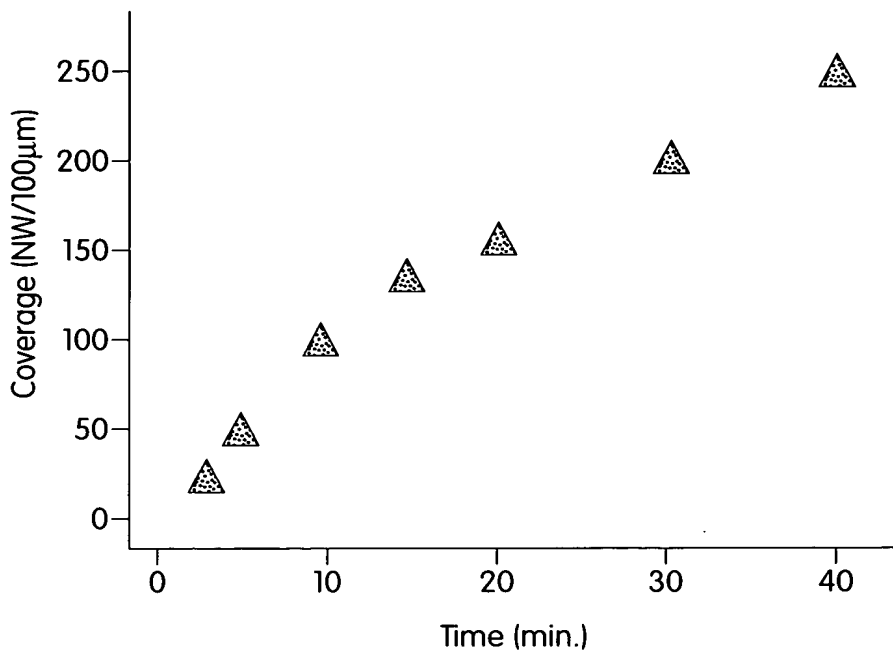


Fig. 31D

40/43

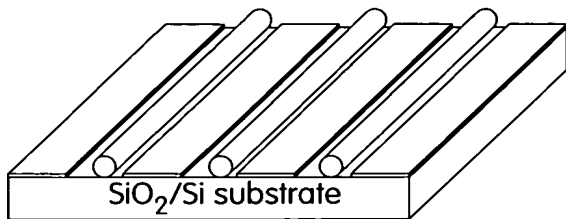


Fig. 32A

0621200 - 321200

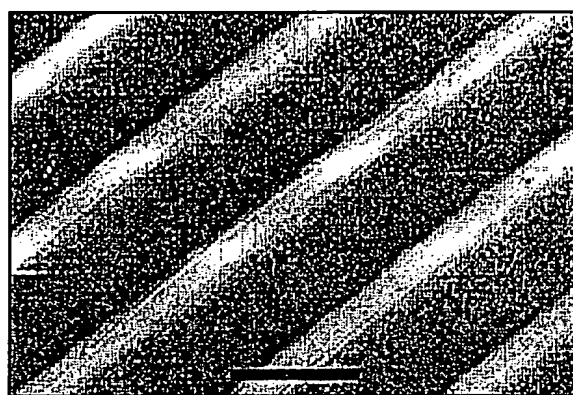


Fig. 32B

41/43

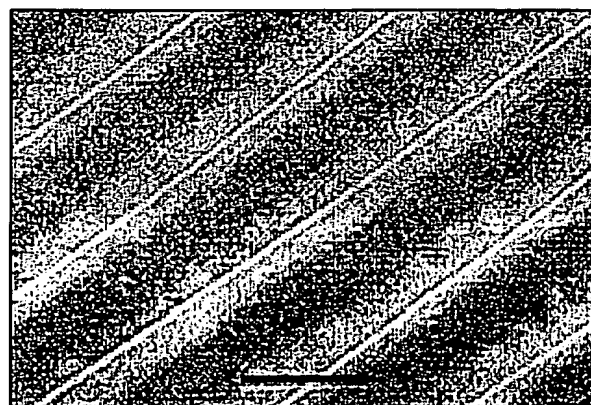


Fig. 32C

2021 RELEASE UNDER E.O. 14176

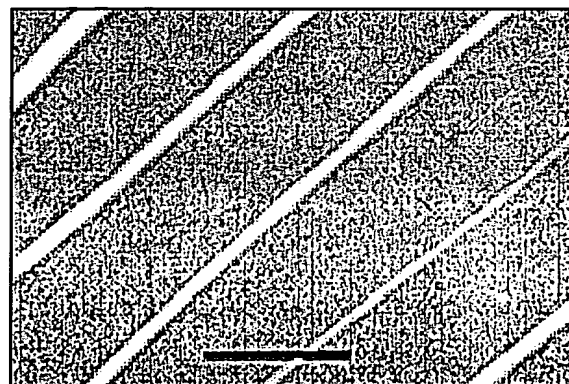


Fig. 32D

42/43

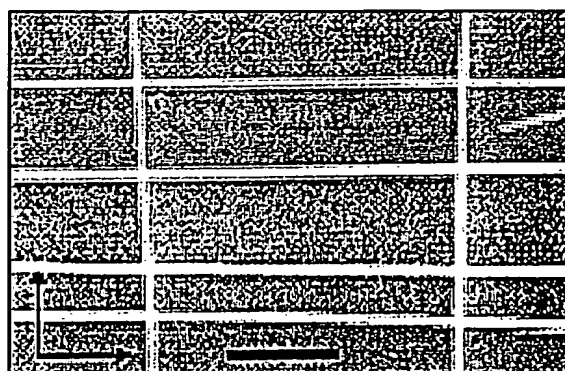


Fig. 33A

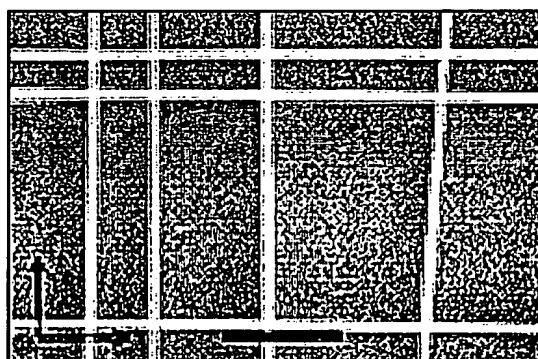


Fig. 33B

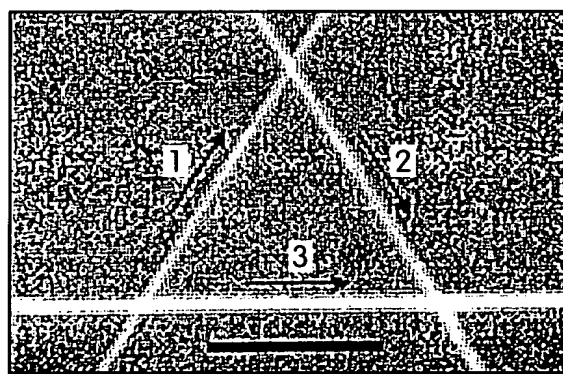


Fig. 33C

43/43

2021E09125E660

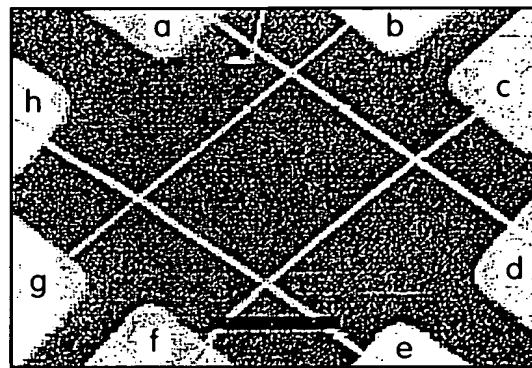


Fig. 33D

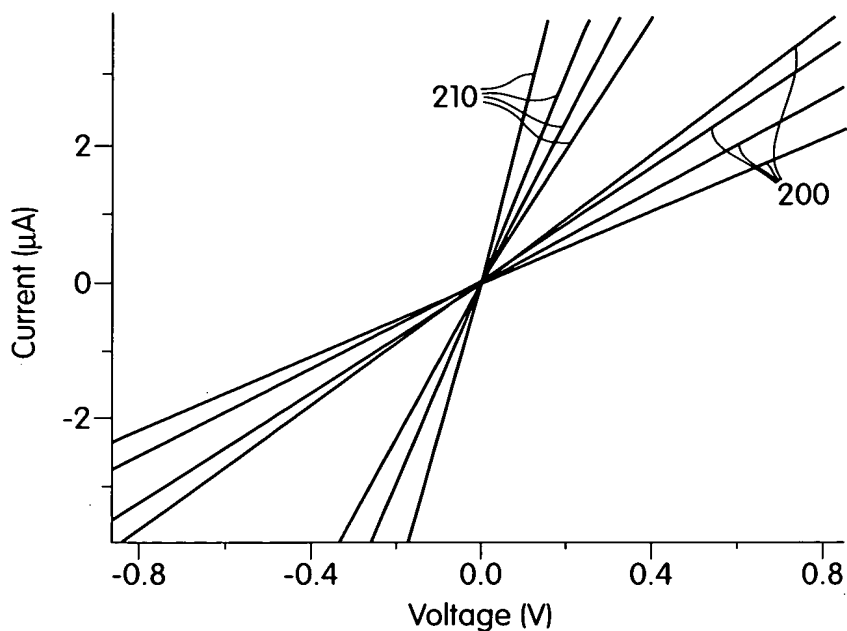


Fig. 33E